

# Structure passive pour la modélisation, la simulation et le contrôle de systèmes multi-physiques audios

Antoine Falaize et **Thomas Hélié**

**Institut de Recherche et Coordination Acoustique/Musique**

CNRS - UMR STMS 9912

1 place Igor Stravinsky, F-75004 Paris

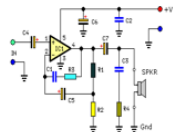
Projet ANR HaMecMoPSys

Séminaire invité

**Laboratoire des Sciences de L'ingénieur pour l'Environnement**

**10/12/2015 - La Rochelle**

Graphe  
D'Interconnexion



Dictionnaire  
De  
Composants

?

Code C++

Schéma  
Numérique



# Objectif

## 1. Modèles physiques passifs

- Respectent un principe physique: le bilan de puissance.
- Stabilité garantie.

## 2. Structure stable par interconnexion

- Système global passif pour un dictionnaire de composants passifs.
- Systématisation des processus de modélisation et simulation.

## 3. Méthode numérique préservant la passivité

- Aucune énergie n'est créée dans le système au cours des simulations.
- Simulations stables (la puissance fournie est finie).

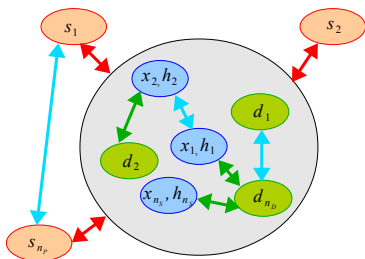
Un formalisme dédié: Les Système Hamiltoniens à Ports (SHP)

# Plan

- 1 Systèmes Hamiltoniens à Ports
- 2 Génération automatique
- 3 Le Haut-parleur électrodynamique
- 4 Conclusions et perspectives

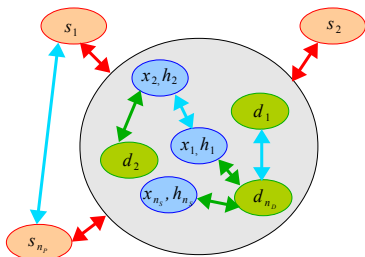


Un SHP est un système physique à représentation d'état structurée selon les échanges de puissance.



- Énergie stockée (cas monovariant)  
 $E = H(\mathbf{x}) = \sum_{n=1}^{n_S} h_n(x_n) \geq 0$   
 $(h_n \text{ def. positive et convexe})$
- Variation d'énergie:  $\langle \text{effort}, \text{flux} \rangle$   
 $\frac{dE}{dt} = \nabla H^T \cdot \frac{dx}{dt} = \sum_{n=1}^{n_S} \frac{dh_n}{dx_n} \cdot \frac{dx_n}{dt}$
- Puissance dissipée:  $\langle \text{effort}, \text{flux} \rangle$   
 $\mathcal{D} = \mathbf{z}(\mathbf{w})^T \cdot \mathbf{w} = \sum_{n=1}^{n_D} z_n(w_n) \cdot w_n \geq 0$
- Puissance externe:  $\langle \text{effort}, \text{flux} \rangle$   
 $\mathcal{P} = \mathbf{u}^T \cdot \mathbf{y} = \sum_{n=1}^{n_P} u_n \cdot y_n$

Un SHP est un système physique à représentation d'état structurée selon les échanges de puissance.



- Énergie stockée (cas monovariant)  

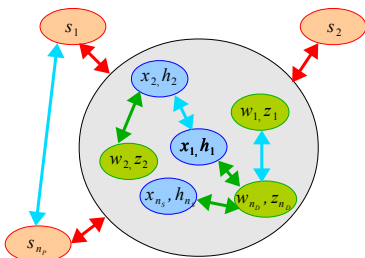
$$E = H(\mathbf{x}) = \sum_{n=1}^{n_s} h_n(x_n) \geq 0$$
- Variation d'énergie: ⟨effort, flux⟩  

$$\frac{dE}{dt} = \nabla H^T \cdot \frac{dx}{dt} = \sum_{n=1}^{n_s} \frac{dh_n}{dx_n} \cdot \frac{dx_n}{dt}$$
- Puissance dissipée: ⟨effort, flux⟩  

$$\mathcal{D} = \mathbf{z}(\mathbf{w})^T \cdot \mathbf{w} = \sum_{n=1}^{n_D} z_n(w_n) \cdot w_n \geq 0$$
- Puissance externe: ⟨effort, flux⟩  

$$\mathcal{P} = \mathbf{u}^T \cdot \mathbf{y} = \sum_{n=1}^{n_P} u_n \cdot y_n$$

Un SHP est un système physique à représentation d'état structurée selon les échanges de puissance.



- Énergie stockée (cas monovariant)  

$$E = H(\mathbf{x}) = \sum_{n=1}^{n_S} h_n(x_n) \geq 0$$
- Variation d'énergie:  $\langle \text{effort}, \text{flux} \rangle$   

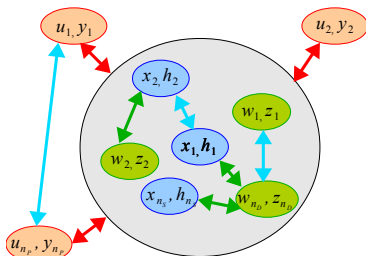
$$\frac{dE}{dt} = \nabla H^T \cdot \frac{dx}{dt} = \sum_{n=1}^{n_S} \frac{dh_n}{dx_n} \cdot \frac{dx_n}{dt}$$
- Puissance dissipée:  $\langle \text{effort}, \text{flux} \rangle$   

$$\mathcal{D} = \mathbf{z}(\mathbf{w})^T \cdot \mathbf{w} = \sum_{n=1}^{n_D} z_n(w_n) \cdot w_n \geq 0$$

( $\frac{dz_n}{dw_n} > 0$  et  $z_n(0) = 0$ )
- Puissance externe:  $\langle \text{effort}, \text{flux} \rangle$   

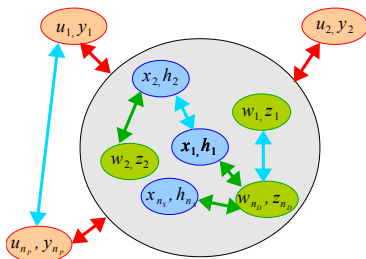
$$\mathcal{P} = \mathbf{u}^T \cdot \mathbf{y} = \sum_{n=1}^{n_P} u_n \cdot y_n$$

Un SHP est un système physique à représentation d'état structurée selon les échanges de puissance.



- Énergie stockée (cas monovariant)  
 $E = H(\mathbf{x}) = \sum_{n=1}^{n_S} h_n(x_n) \geq 0$
- Variation d'énergie:  $\langle \text{effort}, \text{flux} \rangle$   
 $\frac{dE}{dt} = \nabla H^T \cdot \frac{dx}{dt} = \sum_{n=1}^{n_S} \frac{dh_n}{dx_n} \cdot \frac{dx_n}{dt}$
- Puissance dissipée:  $\langle \text{effort}, \text{flux} \rangle$   
 $\mathcal{D} = \mathbf{z}(\mathbf{w})^T \cdot \mathbf{w} = \sum_{n=1}^{n_D} z_n(w_n) \cdot w_n \geq 0$
- Puissance externe:  $\langle \text{effort}, \text{flux} \rangle$   
 $\mathcal{P} = \mathbf{u}^T \cdot \mathbf{y} = \sum_{n=1}^{n_P} u_n \cdot y_n$

Un SHP est un système physique à représentation d'état structurée selon les échanges de puissance.



Le bilan de puissance

$$\frac{dE}{dt} = -\mathcal{D} + \mathcal{P}$$

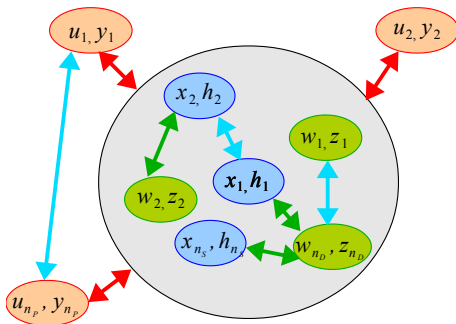
se réécrit

$$\nabla H^T \cdot \frac{dx}{dt} = -\mathbf{z}(\mathbf{w})^T \cdot \mathbf{w} + \mathbf{u}^T \cdot \mathbf{y}$$

## Structure des systèmes Hamiltoniens à Ports:

$$\boxed{\mathbf{b}} = \begin{pmatrix} \frac{dx}{dt} \\ \mathbf{w} \\ -\mathbf{y} \end{pmatrix} = \left( \begin{array}{c|c|c} \mathbf{J}_x & -\mathbf{K} & \mathbf{G}_x \\ \hline \mathbf{K}^T & \mathbf{J}_w & \mathbf{G}_w \\ \hline -\mathbf{G}_x^T & -\mathbf{G}_w^T & \mathbf{J}_y \end{array} \right) \cdot \begin{pmatrix} \nabla H(\mathbf{x}) \\ \mathbf{z}(\mathbf{w}) \\ \mathbf{u} \end{pmatrix} = \boxed{\mathbf{J}} \cdot \boxed{\mathbf{a}},$$

avec  $\mathbf{J}_x$ ,  $\mathbf{J}_w$ ,  $\mathbf{J}_y$  et donc  $\boxed{\mathbf{J}}$  des matrices anti-symétriques:  $\boxed{\mathbf{J}}^T = -\boxed{\mathbf{J}}$



## Structure des systèmes Hamiltoniens à Ports:

$$\boxed{\mathbf{b}} = \begin{pmatrix} \frac{dx}{dt} \\ \mathbf{w} \\ -\mathbf{y} \end{pmatrix} = \left( \begin{array}{c|c|c} \mathbf{J}_x & -\mathbf{K} & \mathbf{G}_x \\ \hline \mathbf{K}^T & \mathbf{J}_w & \mathbf{G}_w \\ \hline -\mathbf{G}_x^T & -\mathbf{G}_w^T & \mathbf{J}_y \end{array} \right) \cdot \begin{pmatrix} \nabla H(\mathbf{x}) \\ \mathbf{z}(\mathbf{w}) \\ \mathbf{u} \end{pmatrix} = \boxed{\mathbf{J}} \cdot \boxed{\mathbf{a}},$$

avec  $\mathbf{J}_x$ ,  $\mathbf{J}_w$ ,  $\mathbf{J}_y$  et donc  $\boxed{\mathbf{J}}$  des matrices anti-symétriques:  $\boxed{\mathbf{J}^T} = -\boxed{\mathbf{J}}$

Encode le bilan de puissance:

$$\underbrace{\nabla H^T \cdot \frac{dx}{dt}}_{\frac{dE}{dt}} + \underbrace{\mathbf{z}(\mathbf{w})^T \mathbf{w}}_{\mathcal{D} \geq 0} - \underbrace{\mathbf{u}^T \mathbf{y}}_{\mathcal{P}} = \boxed{\mathbf{a}^T} \cdot \boxed{\mathbf{b}}.$$

$$= \boxed{\mathbf{a}^T} \cdot \boxed{\mathbf{J}} \cdot \boxed{\mathbf{a}} = 0$$

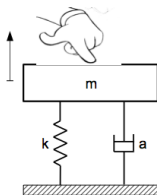
Système passif d'état  $\mathbf{x}$

Énergie  $H \equiv$  Fonctionnelle de Lyapunov (stabilité/contrôle)

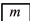
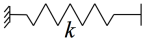
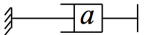
# Exemple: Oscillateur mécanique amorti excité par une force

Structure des systèmes Hamiltoniens à Ports:

$$\boxed{\mathbf{b}} = \begin{pmatrix} \frac{dx}{dt} \\ \mathbf{w} \\ -\mathbf{y} \end{pmatrix} = \begin{pmatrix} \mathbf{J}_x & -\mathbf{K} & \mathbf{G}_x \\ \mathbf{K}^T & \mathbf{J}_w & \mathbf{G}_w \\ -\mathbf{G}_x^T & -\mathbf{G}_w^T & \mathbf{J}_y \end{pmatrix} \cdot \begin{pmatrix} \nabla H(\mathbf{x}) \\ \mathbf{z}(\mathbf{w}) \\ \mathbf{u} \end{pmatrix} = \boxed{\mathbf{J}} \cdot \boxed{\mathbf{a}}$$



Les composants (convention récepteur)

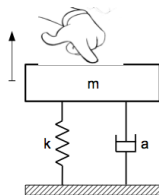
Composant	Variable	Fonction	Flux	Effort	↑↓
	$x_1 = \text{qté de mvt}$	$h_1(x_1) = \frac{x_1^2}{2m}$	$v_1 = \frac{dh_1}{dx_1}$	$F_1 = \frac{dx_1}{dt}$	↑
	$x_2 = \text{élongation}$	$h_2(x_2) = \frac{k}{2} x_2^2$	$v_2 = \frac{dx_2}{dt}$	$F_2 = \frac{dh_2}{dx_2}$	↑
	$w_3 = \text{vitesse}$	$z_3(w_3) = a \cdot w_3$	$v_3 = w_3$	$F_3 = z_3(w_3)$	↑
Excitation	⊙	⊙	$v_4 = -y_4$	$F_4 = u_4$	↓

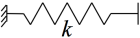
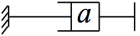


## Exemple: Oscillateur mécanique amorti excité par une force

Que vaut  $\boxed{a}$ ?

$$\begin{pmatrix} \frac{dx}{dt} \\ \mathbf{w} \\ -\mathbf{y} \end{pmatrix} = \begin{pmatrix} \mathbf{J}_x & -\mathbf{K} & \mathbf{G}_x \\ \mathbf{K}^T & \mathbf{J}_w & \mathbf{G}_w \\ -\mathbf{G}_x^T & -\mathbf{G}_w^T & \mathbf{J}_y \end{pmatrix} \cdot \begin{pmatrix} \nabla H(\mathbf{x}) \\ \mathbf{z}(\mathbf{w}) \\ \mathbf{u} \end{pmatrix}$$

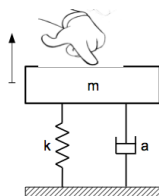


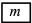

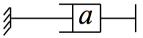
Composant	Variable	Fonction	Flux	Effort	↑↓
$\boxed{m}$	$x_1 = \text{qtté de mvt}$	$h_1(x_1) = \frac{x_1^2}{2m}$	$v_1 = \frac{dh_1}{dx_1}$	$F_1 = \frac{dx_1}{dt}$	↑
	$x_2 = \text{élongation}$	$h_2(x_2) = \frac{k}{2}x_2^2$	$v_2 = \frac{dx_2}{dt}$	$F_2 = \frac{dh_2}{dx_2}$	↑
	$w_3 = \text{vitesse}$	$z_3(w_3) = a \cdot w_3$	$v_3 = w$	$F_3 = z_3(w_3)$	↑
Excitation	$\emptyset$	$\emptyset$	$v_4 = -y_4$	$F_4 = u_4$	↓

## Exemple: Oscillateur mécanique amorti excité par une force

Que vaut **b**?

$$\begin{pmatrix} \frac{dx}{dt} \\ \mathbf{w} \\ -\mathbf{y} \end{pmatrix} = \begin{pmatrix} \mathbf{J}_x & -\mathbf{K} & \mathbf{G}_x \\ \mathbf{K}^T & \mathbf{J}_w & \mathbf{G}_w \\ -\mathbf{G}_x^T & -\mathbf{G}_w^T & \mathbf{J}_y \end{pmatrix} \cdot \begin{pmatrix} v_1 \\ F_2 \\ F_3 \\ F_4 \end{pmatrix}$$



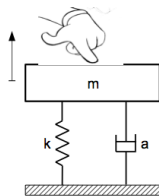
Composant	Variable	Fonction	Flux	Effort	↑↓
	$x_1 = \text{qtté de mvt}$	$h_1(x_1) = \frac{x_1^2}{2m}$	$v_1 = \frac{dh_1}{dx_1}$	$F_1 = \frac{dx_1}{dt}$	↑
	$x_2 = \text{élongation}$	$h_2(x_2) = \frac{k}{2}x_2^2$	$v_2 = \frac{dx_2}{dt}$	$F_2 = \frac{dh_2}{dx_2}$	↑
	$w_3 = \text{vitesse}$	$z_3(w_3) = a \cdot w_3$	$v_3 = w_3$	$F_3 = z_3(w_3)$	↑
Excitation	$\emptyset$	$\emptyset$	$v_4 = -y_4$	$F_4 = u_4$	↓

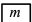

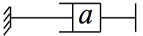
# Exemple: Oscillateur mécanique amorti excité par une force

Que vaut **J**?

1 RFD

$$\begin{pmatrix} F_1 \\ v_2 \\ v_3 \\ -v_4 \end{pmatrix} = \begin{pmatrix} 0 & -1 & -1 & +1 \\ \cdot & \cdot & \cdot & \cdot \\ \cdot & \cdot & \cdot & \cdot \\ \cdot & \cdot & \cdot & \cdot \end{pmatrix} \cdot \begin{pmatrix} v_1 \\ F_2 \\ F_3 \\ F_4 \end{pmatrix}$$



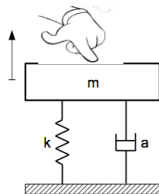
Composant	Variable	Fonction	Flux	Effort	↑↓
	$x_1 = \text{qtté de mvt}$	$h_1(x_1) = \frac{x_1^2}{2m}$	$v_1 = \frac{dh_1}{dx_1}$	$F_1 = \frac{dx_1}{dt}$	↑
	$x_2 = \text{élongation}$	$h_2(x_2) = \frac{k}{2}x_2^2$	$v_2 = \frac{dx_2}{dt}$	$F_2 = \frac{dh_2}{dx_2}$	↑
	$w_3 = \text{vitesse}$	$z_3(w_3) = a \cdot w_3$	$v_3 = w_3$	$F_3 = z_3(w_3)$	↑
Excitation	⊙	⊙	$v_4 = -v_4$	$F_4 = u_4$	↓

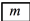

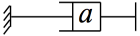
# Exemple: Oscillateur mécanique amorti excité par une force

Que vaut **J**?

- ① RFD
- ②  $v \equiv$  vitesse de la masse

$$\begin{pmatrix} F_1 \\ v_2 \\ v_3 \\ -v_4 \end{pmatrix} = \begin{pmatrix} 0 & -1 & -1 & +1 \\ +1 & 0 & 0 & 0 \\ +1 & 0 & 0 & 0 \\ -1 & 0 & 0 & 0 \end{pmatrix} \cdot \begin{pmatrix} v_1 \\ F_2 \\ F_3 \\ F_4 \end{pmatrix}$$



Composant	Variable	Fonction	Flux	Effort	↑↓
	$x_1 = \text{qtté de mvt}$	$h_1(x_1) = \frac{x_1^2}{2m}$	$v_1 = \frac{dh_1}{dx_1}$	$F_1 = \frac{dx_1}{dt}$	↑
	$x_2 = \text{élongation}$	$h_2(x_2) = \frac{k}{2}x_2^2$	$v_2 = \frac{dx_2}{dt}$	$F_2 = \frac{dh_2}{dx_2}$	↑
	$w_3 = \text{vitesse}$	$z_3(w_3) = a \cdot w_3$	$v_3 = w_3$	$F_3 = z_3(w_3)$	↑
Excitation	$\emptyset$	$\emptyset$	$v_4 = -v_4$	$F_4 = u_4$	↓

# Réduction de la structure dissipative linéaire

Partition de  $\mathbf{z}$  avec  $\mathbf{z}_L$  une matrice diagonale et  $\mathbf{z}_N$  la collection de fonctions non-linéaires.

$$\mathbf{w} = \begin{pmatrix} \mathbf{w}_L \\ \mathbf{w}_N \end{pmatrix}, \quad \mathbf{z}(\mathbf{w}) = \begin{pmatrix} \mathbf{z}_L \cdot \mathbf{w}_L \\ \mathbf{z}_N(\mathbf{w}_N) \end{pmatrix},$$

$$\mathbf{K} = \begin{pmatrix} \mathbf{K}_L \\ \mathbf{K}_N \end{pmatrix}, \quad \mathbf{G}_w = \begin{pmatrix} \mathbf{G}_L \\ \mathbf{G}_N \end{pmatrix}, \quad \mathbf{J}_w = \begin{pmatrix} \mathbf{J}_{LL} & -\mathbf{K}_{LN} \\ \mathbf{K}_{LN}^T & \mathbf{J}_{NN} \end{pmatrix}.$$

Nouvelle structure

$\mathbf{L} = (\mathbf{K}_L^T, -\mathbf{K}_{LN}, -\mathbf{G}_L)$  et  $\mathbf{M} = (\mathbf{z}_L^{-1} - \mathbf{J}_{LL})^{-1}$

$$\tilde{\mathbf{J}} = \left( \begin{array}{c|c|c} \mathbf{J}_x & -\mathbf{K}_N & -\mathbf{G}_x \\ \hline \mathbf{K}_N^T & \mathbf{J}_{NN} & -\mathbf{G}_N \\ \hline \mathbf{G}_x^T & \mathbf{G}_N^T & \mathbf{J}_y \end{array} \right) - \frac{1}{2} \mathbf{L}^T \cdot (\mathbf{M} - \mathbf{M}^T) \cdot \mathbf{L}$$

$$\mathbf{R} = \frac{1}{2} \mathbf{L}^T \cdot (\mathbf{M} + \mathbf{M}^T) \cdot \mathbf{L}.$$

# Réduction de la structure dissipative linéaire

Système Hamiltonien à ports réduit

$$\underbrace{\begin{pmatrix} \frac{\partial_t \mathbf{x}}{\mathbf{w}_N} \\ -\mathbf{y} \end{pmatrix}}_{\mathbf{b}_N} = (\tilde{\mathbf{J}} - \mathbf{R}) \cdot \underbrace{\begin{pmatrix} \frac{\nabla H(\mathbf{x})}{\mathbf{z}_N(\mathbf{w}_N)} \\ \mathbf{u} \end{pmatrix}}_{\mathbf{a}_N} \quad (1)$$

Interprétation

- $\tilde{\mathbf{J}}$  → interconnexion conservative,
- $\mathbf{R}$  → interconnexion résistive.

## Méthode numérique préservant la passivité

# Méthode numérique préservant la passivité

Objectif: Garantir un bilan de puissance à temps discret

$$\frac{\delta E}{\delta T}[k] = \mathcal{P}[k] - \mathcal{D}[k]$$

Choix:  $\frac{\delta E[k]}{\delta T} = \frac{E[k+1]-E[k]}{\delta T} = \frac{H(\mathbf{x}[k+1]) - H(\mathbf{x}[k])}{\delta T}$

Cas Monovariant:  $\frac{E[k+1]-E[k]}{\delta T} = \sum_s \frac{h_s(x_s[k+1]) - h_s(x_s[k])}{x_s[k+1] - x_s[k]} \cdot \frac{x_s[k+1] - x_s[k]}{\delta T}$

Solution:

$$\begin{aligned} \frac{d\mathbf{x}}{dt} &\longrightarrow \frac{\delta \mathbf{x}[k]}{\delta T} = \frac{\mathbf{x}[k+1] - \mathbf{x}[k]}{\delta T} \\ \nabla H(\mathbf{x}) &\longrightarrow \nabla^d H(\mathbf{x}[k], \delta \mathbf{x}[k]) \triangleq \text{gradient discret} \end{aligned}$$

avec

$$\left[ \nabla^d H(\mathbf{x}, \delta \mathbf{x}) \right]_s = \frac{h_s([\mathbf{x} + \delta \mathbf{x}]_s) - h_s([\mathbf{x}]_s)}{[\delta \mathbf{x}]_s} \xrightarrow{[\delta \mathbf{x}]_s \rightarrow 0} \frac{dh_s}{dx_s}(x_s).$$



# Méthode numérique préservant la passivité

Objectif: Garantir un bilan de puissance à temps discret

$$\frac{\delta E}{\delta T}[k] = \mathcal{P}[k] - \mathcal{D}[k]$$

Choix:  $\frac{\delta E[k]}{\delta T} = \frac{E[k+1]-E[k]}{\delta T} = \frac{H(\mathbf{x}[k+1])-H(\mathbf{x}[k])}{\delta T}$

Cas Monovariant:  $\frac{E[k+1]-E[k]}{\delta T} = \sum_s \frac{h_s(x_s[k+1])-h_s(x_s[k])}{x_s[k+1]-x_s[k]} \cdot \frac{x_s[k+1]-x_s[k]}{\delta T}$

Solution:

$$\begin{aligned} \frac{d\mathbf{x}}{dt} &\longrightarrow \frac{\delta \mathbf{x}[k]}{\delta T} = \frac{\mathbf{x}[k+1]-\mathbf{x}[k]}{\delta T} \\ \nabla H(\mathbf{x}) &\longrightarrow \nabla^d H(\mathbf{x}[k], \delta \mathbf{x}[k]) \triangleq \text{gradient discret} \end{aligned}$$

avec

$$\left[ \nabla^d H(\mathbf{x}, \delta \mathbf{x}) \right]_s = \frac{h_s([\mathbf{x} + \delta \mathbf{x}]_s) - h_s([\mathbf{x}]_s)}{[\delta \mathbf{x}]_s} \xrightarrow{[\delta \mathbf{x}]_s \rightarrow 0} \frac{dh_s}{dx_s}(x_s).$$

# Méthode numérique préservant la passivité

Objectif: Garantir un bilan de puissance à temps discret

$$\frac{\delta E}{\delta T}[k] = \mathcal{P}[k] - \mathcal{D}[k]$$

Choix:  $\frac{\delta E[k]}{\delta T} = \frac{E[k+1]-E[k]}{\delta T} = \frac{H(\mathbf{x}[k+1])-H(\mathbf{x}[k])}{\delta T}$

Cas Monovariant:  $\frac{E[k+1]-E[k]}{\delta T} = \sum_s \frac{h_s(x_s[k+1])-h_s(x_s[k])}{x_s[k+1]-x_s[k]} \cdot \frac{x_s[k+1]-x_s[k]}{\delta T}$

Solution:

$$\begin{aligned} \frac{d\mathbf{x}}{dt} &\longrightarrow \frac{\delta \mathbf{x}[k]}{\delta T} = \frac{\mathbf{x}[k+1]-\mathbf{x}[k]}{\delta T} \\ \nabla H(\mathbf{x}) &\longrightarrow \nabla^d H(\mathbf{x}[k], \delta \mathbf{x}[k]) \triangleq \text{gradient discret} \end{aligned}$$

avec

$$\left[ \nabla^d H(\mathbf{x}, \delta \mathbf{x}) \right]_s = \frac{h_s([\mathbf{x} + \delta \mathbf{x}]_s) - h_s([\mathbf{x}]_s)}{[\delta \mathbf{x}]_s} \xrightarrow{[\delta \mathbf{x}]_s \rightarrow 0} \frac{dh_s}{dx_s}(x_s).$$

# Méthode numérique préservant la passivité

## Solution

$$\begin{aligned} \frac{dx}{dt} &\longrightarrow \frac{\delta \mathbf{x}[k]}{\delta T} = \frac{\mathbf{x}[k+1] - \mathbf{x}[k]}{\delta T} \\ \nabla H(\mathbf{x}) &\longrightarrow \nabla^d H(\mathbf{x}[k], \delta \mathbf{x}[k]) \triangleq \text{gradient discret} \end{aligned}$$

## SHP discret

$$\begin{pmatrix} \frac{\delta \mathbf{x}[k]}{\delta T} \\ \mathbf{w}[k] \\ -\mathbf{y}[k] \end{pmatrix} = \begin{pmatrix} \mathbf{J}_x & -\mathbf{K} & \mathbf{G}_x \\ \mathbf{K}^\top & \mathbf{J}_w & \mathbf{G}_w \\ -\mathbf{G}_x^\top & -\mathbf{G}_w^\top & \mathbf{D} \end{pmatrix} \cdot \begin{pmatrix} \nabla^d H(\mathbf{x}[k], \delta \mathbf{x}[k]) \\ \mathbf{z}(\mathbf{w}[k]) \\ \mathbf{u}[k] \end{pmatrix}.$$

Cette méthode préserve la structure du SHP original,  
donc la passivité à temps discret.

# Comparaison de quelques méthodes numériques

Système conservatif:  $\partial_t \mathbf{x}(t) = \mathbf{J} \nabla H(\mathbf{x}(t))$

Méthodes numériques

Euler implicite:  $\mathbf{x}_{k+1} = \mathbf{x}_k + T \mathbf{J} \nabla H(\mathbf{x}_{k+1})$

Méthode du trapèze:  $\mathbf{x}_{k+1} = \mathbf{x}_k + T \mathbf{J} \frac{\nabla H(\mathbf{x}_k) + \nabla H(\mathbf{x}_{k+1})}{2}$

Point milieu:  $\mathbf{x}_{k+1} = \mathbf{x}_k + T \mathbf{J} \nabla H\left(\frac{\mathbf{x}_k + \mathbf{x}_{k+1}}{2}\right)$

Gradient discret:  $\mathbf{x}_{k+1} = \mathbf{x}_k + T \mathbf{J} \frac{H(\mathbf{x}_{k+1}) - H(\mathbf{x}_k)}{\mathbf{x}_{k+1} - \mathbf{x}_k}$

Pour les systèmes linéaires  $\nabla H(\mathbf{x}) = \mathbf{Q} \mathbf{x}$

Méthode du trapèze  $\equiv$  Point milieu  $\equiv$  Gradient discret:

$$\mathbf{x}_{k+1} = \mathbf{x}_k + \frac{T}{2} \mathbf{J} \mathbf{Q} (\mathbf{x}_{k+1} + \mathbf{x}_k)$$

# Comparaison de quelques méthodes numériques

Système conservatif:  $\partial_t \mathbf{x}(t) = \mathbf{J} \nabla H(\mathbf{x}(t))$

Méthodes numériques

Euler implicite:  $\mathbf{x}_{k+1} = \mathbf{x}_k + T \mathbf{J} \nabla H(\mathbf{x}_{k+1})$

Méthode du trapèze:  $\mathbf{x}_{k+1} = \mathbf{x}_k + T \mathbf{J} \frac{\nabla H(\mathbf{x}_k) + \nabla H(\mathbf{x}_{k+1})}{2}$

Point milieu:  $\mathbf{x}_{k+1} = \mathbf{x}_k + T \mathbf{J} \nabla H\left(\frac{\mathbf{x}_k + \mathbf{x}_{k+1}}{2}\right)$

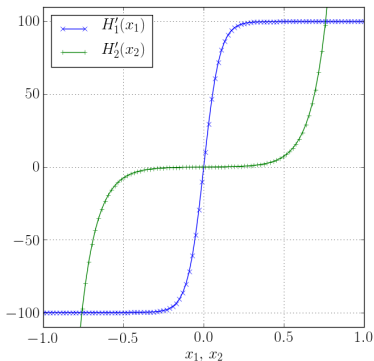
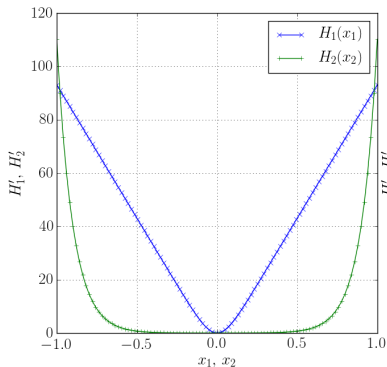
Gradient discret:  $\mathbf{x}_{k+1} = \mathbf{x}_k + T \mathbf{J} \frac{H(\mathbf{x}_{k+1}) - H(\mathbf{x}_k)}{\mathbf{x}_{k+1} - \mathbf{x}_k}$

Pour les systèmes non-linéaires

Méthode du trapèze  $\neq$  Point milieu  $\neq$  Gradient discret

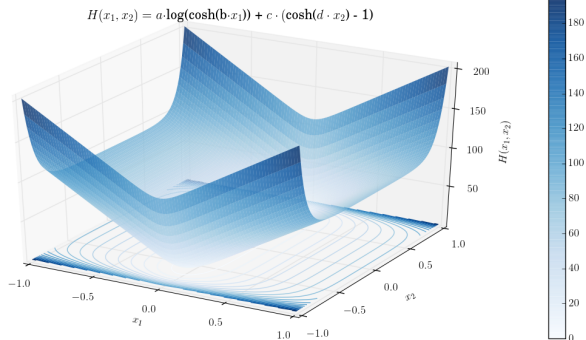
# Expérience numérique

$$H_1(x_1) \equiv \log(\cosh(x_1)) \text{ et } H_2(x_2) \equiv \cosh(x_2) - 1$$

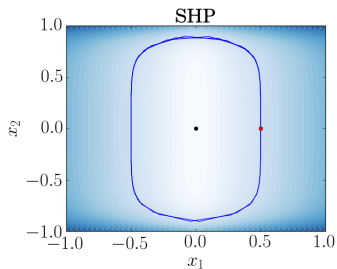
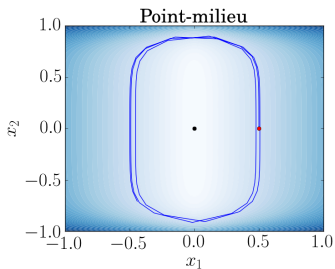
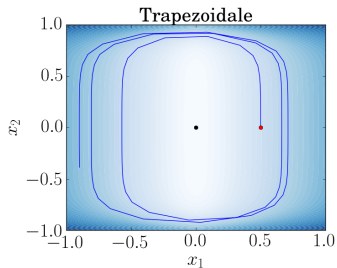
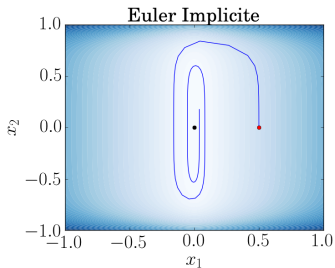


# Expérience numérique

$$H_1(x_1) \equiv \log(\cosh(x_1)) \text{ et } H_2(x_2) \equiv \cosh(x_2) - 1$$

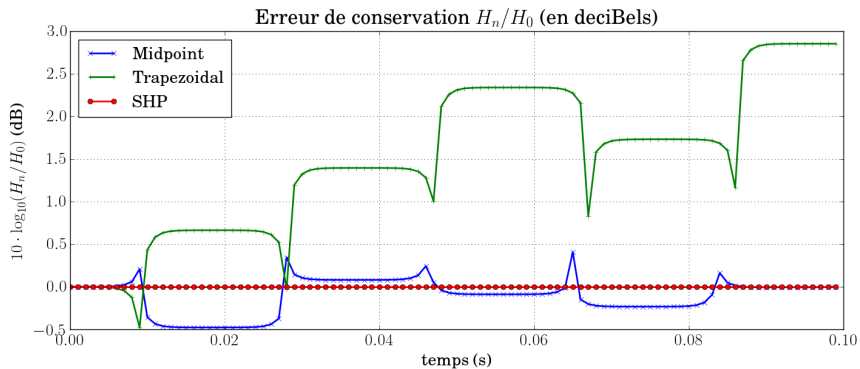


# Expérience numérique





# Expérience numérique



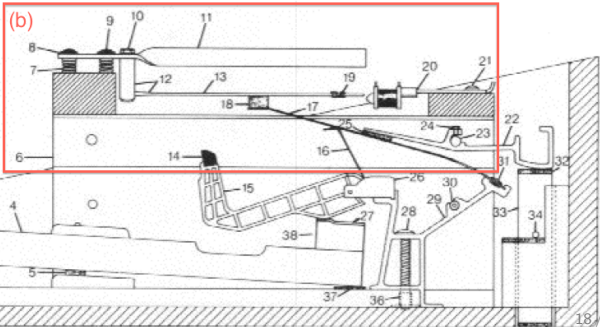
# Application: Le Fender Rhodes



# Application: Le Fender Rhodes



(a)

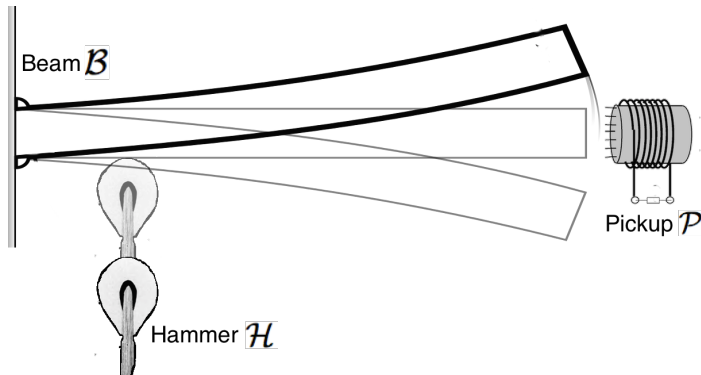


# Système considéré

Marteau  $\mathcal{H}$ : Contact non-linéaire

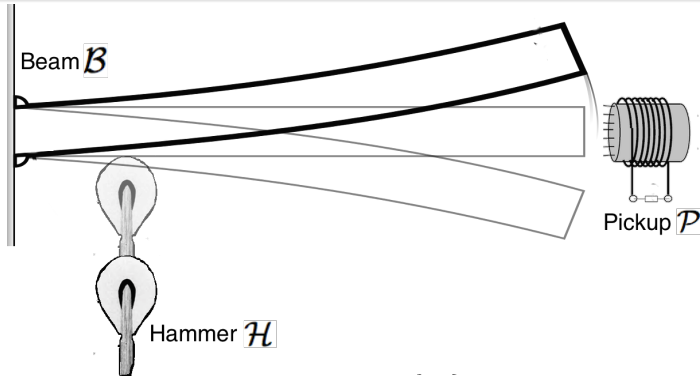
Poutre  $\mathcal{B}$ : Résonateur amorti (dimension infinie)

Capteur  $\mathcal{P}$ : Transducteur mécano-magnéto-électrique



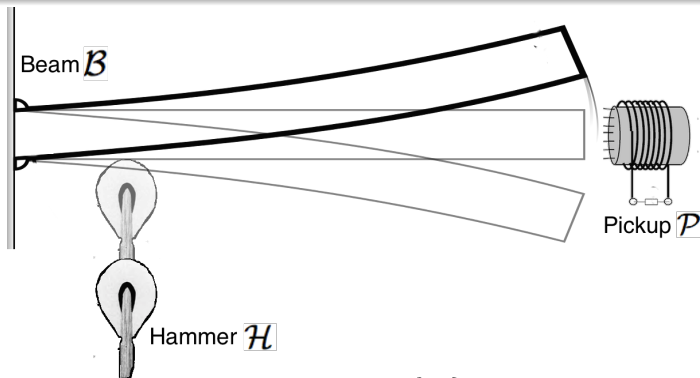
## Objectif

- Simulation temps-réel et stable,
- Entrée: force sur le marteau,
- Sortie: tension électrique.

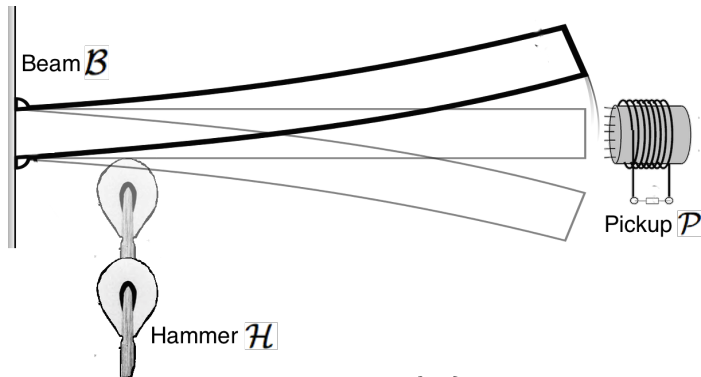


## Approche par les systèmes Hamiltoniens à ports

- 1 Modèles passifs des éléments ( $\mathcal{H}$ ,  $\mathcal{P}$  et  $\mathcal{B}$ ) en dimension finie,
- 2 Connexion conservative  $\Rightarrow$  Système global passif,
- 3 Méthode numérique préservant la passivité  $\Rightarrow$  Simulations stables.



# Marteau $\mathcal{H}$

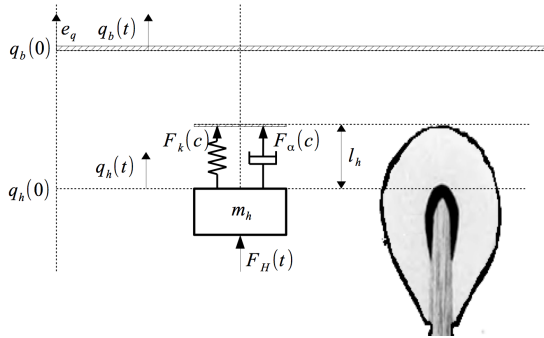


# Marteau $\mathcal{H}$

Modèle disponible pour la dynamique

$$m_h \partial_t^2 q_h = -F_k(c) - F_\alpha(c) + F_{\mathcal{H}}$$

- écrasement du feutre  $c(\delta q) = \max(\delta q + l_h, 0)$ ;  $\delta q(t) = q_h(t) - q_b(t)$
- Force de rappel non-linéaire  $F_k(c) = k_h c^\beta$
- Amortissement non-linéaire  $F_\alpha(c) = \alpha_h \partial_t(c^\beta)$





# Marteau $\mathcal{H}$

Modèle disponible pour la dynamique

$$m_h \partial_t^2 q_h = -F_k(c) - F_\alpha(c) + F_{\mathcal{H}}$$

- écrasement du feutre  $c(\delta q) = \max(\delta q + l_h, 0)$ ;  $\delta q(t) = q_h(t) - q_b(t)$
- Force de rappel non-linéaire  $F_k(c) = k_h c^\beta$
- Amortissement non-linéaire  $F_\alpha(c) = \alpha_h \partial_t(c^\beta)$

Système Hamiltonien à ports

	Variable	Fonction	Flux	Effort
$m_h$	$x_1 = m_h \partial_t q_h$	$h_1(x_1) = \frac{x_1^2}{2m_h}$	$v_1 = \frac{dh_1}{dx_1}$	$F_1 = \frac{dx_1}{dt}$
$k_h$	$x_2 = \delta q$	$h_2(x_2) = \frac{k_h}{(\beta+1)} c(x_2)^{\beta+1}$	$v_2 = \frac{dh_2}{dx_2}$	$F_2 = \frac{dh_2}{dx_2}$
$\alpha_h$	$w_3 = \partial_t(\delta q)$	$z_3(w_3, x_2) = \frac{\alpha_h}{\beta} c(x_2)^{\beta-1} w_3$	$v_3 = w$	$F_3 = z_3$
$F_{\mathcal{H}}$	$\emptyset$	$\emptyset$	$v_4 = -y_4$	$F_4 = u_4$
$\partial_t q_b$	$\emptyset$	$\emptyset$	$v_5 = u_5$	$F_5 = -y_5$

# Marteau $\mathcal{H}$

## Système Hamiltonien à ports

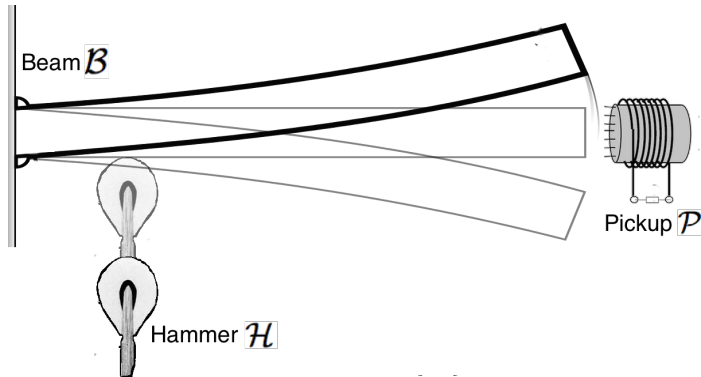
	Variable	Fonction	Flux	Effort
$m_h$	$x_1 = m_h \partial_t q_h$	$h_1(x_1) = \frac{x_1^2}{2m_h}$	$v_1 = \frac{dh_1}{dx_1}$	$F_1 = \frac{dx_1}{dt}$
$k_h$	$x_2 = \delta q$	$h_2(x_2) = \frac{k_h}{(\beta+1)} c(x_2)^{\beta+1}$	$v_2 = \frac{dh_2}{dx_2}$	$F_2 = \frac{dh_2}{dx_2}$
$\alpha_h$	$w_3 = \partial_t(\delta q)$	$z_3(w_3, x_2) = \frac{\alpha_h}{\beta} c(x_2)^{\beta-1} w_3$	$v_3 = w$	$F_3 = z_3$
$F_{\mathcal{H}}$	$\oslash$	$\oslash$	$v_4 = -y_4$	$F_4 = u_4$
$\partial_t q_b$	$\oslash$	$\oslash$	$v_5 = u_5$	$F_5 = -y_5$

## Structure

$$\mathbf{J}_x = \begin{pmatrix} 0 & -1 \\ 1 & 0 \end{pmatrix}, \quad \mathbf{K} = \begin{pmatrix} 1 \\ 0 \end{pmatrix}, \quad \mathbf{G}_x = \begin{pmatrix} 1 \\ -1 \end{pmatrix}$$

$$\mathbf{J}_w = 0, \quad \mathbf{G}_w = 0, \quad \mathbf{J}_y = 0$$

# Poutre $\mathcal{B}$



# Poutre $\mathcal{B}$

Modèle d'Euler-Bernoulli pour le déplacement transverse  $q(z, t)$

$$\rho \partial_t^2 q(z, t) + \alpha \partial_t q(z, t) + \kappa \partial_z^4 q(z, t) = F(z, t) = \omega(z) f(t)$$

avec  $\rho$ ,  $\kappa$  et  $\alpha$  définis par unité de longueur,

$$\omega(z) = \frac{1}{a_h} \mathbf{1}(z - z_h)_{[-a_h/2, +a_h/2]}.$$

Conditions initiales

$$q(z, 0) = 0 \text{ et } \partial_t q(z, 0) = 0$$

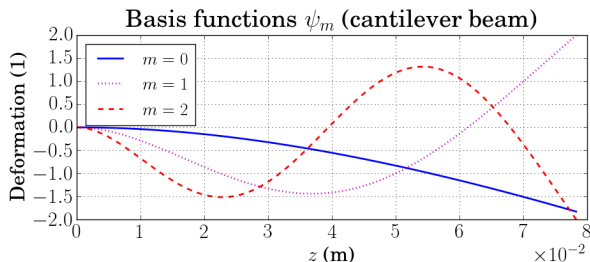
Conditions frontière

- ❶ pas de déplacement de la base  $q(0, t) = 0$ ,
- ❷ pas de fléchissement à la base  $\partial_z q(0, t) = 0$ ,
- ❸ pas de moment fléchissant à l'extrémité  $\partial_z^2 q(1, t) = 0$ ,
- ❹ pas de cisaillement à l'extrémité  $\partial_z^3 q(1, t) = 0$ .

# Poutre $\mathcal{B}$

Modèle d'Euler-Bernoulli pour le déplacement transverse  $q(z, t)$

$$\rho \partial_t^2 q(z, t) + \alpha \partial_t q(z, t) + \kappa \partial_z^4 q(z, t) = F(z, t) = \omega(z) f(t)$$



# Poutre $\mathcal{B}$

Projection sur la base orthonormée des modes propres  $\Psi = (\psi_1, \dots, \psi_M)^\top$

$$\Omega = (\omega_1, \dots, \omega_M)^\top = \langle \omega, \Psi \rangle$$

$$\mathbf{q}_\mathcal{B} = (q_1, \dots, q_M)^\top = \langle q, \Psi \rangle$$

Pour le produit scalaire standard sur  $L^2(0, l_b)$ :  $\langle f, g \rangle = \int_0^{l_b} f(z)g(z)dz$

Modèle réduit d'état  $\mathbf{x}_\mathcal{B} = (\mathbf{q}_\mathcal{B}, \rho \partial_t \mathbf{q}_\mathcal{B})^\top$ :

$$\partial_t \mathbf{x}_\mathcal{B} = \begin{pmatrix} \mathbb{0} & \frac{1}{\rho} \mathbf{I}_d \\ -\kappa \mathbf{L} & -\frac{\alpha}{\rho} \mathbf{I}_d \end{pmatrix} \mathbf{x}_\mathcal{B} + \begin{pmatrix} \mathbb{0} \\ \Omega \end{pmatrix} f,$$

$\mathbf{L} = \text{diag}(k_1^4, \dots, k_M^4)$  pour les  $k_m$  vérifiant  $\cos k_m l_b \cosh k_m l_b + 1 = 0$

# Poutre $\mathcal{B}$

Modèle réduit d'état  $\mathbf{x}_{\mathcal{B}} = (\mathbf{q}_{\mathcal{B}}, \rho \partial_t \mathbf{q}_{\mathcal{B}})^{\top}$ :

$$\partial_t \mathbf{x}_{\mathcal{B}} = \begin{pmatrix} \mathbb{0} & \frac{1}{\rho} \mathbf{I}_d \\ -\kappa \mathbf{L} & -\frac{\alpha}{\rho} \mathbf{I}_d \end{pmatrix} \mathbf{x}_{\mathcal{B}} + \begin{pmatrix} \mathbb{0} \\ \Omega \end{pmatrix} f,$$

Système Hamiltonien à ports

- Composants stockants:  $\begin{cases} \mathbf{x} = \mathbf{x}_{\mathcal{B}} \\ H_{\mathcal{B}}(\mathbf{x}_{\mathcal{B}}) = \frac{1}{2} \mathbf{x}^{\top} \begin{pmatrix} \kappa \mathbf{L} & \mathbb{0} \\ \mathbb{0} & \rho^{-1} \mathbf{I}_d \end{pmatrix} \mathbf{x}, \end{cases}$
- Composants dissipatifs:  $\begin{cases} \mathbf{w} = \partial_t \mathbf{q}_{\mathcal{B}} \\ z(\mathbf{w}) = \frac{\alpha}{\rho} \mathbf{w} \end{cases}$
- Source:  $\begin{cases} \mathbf{u} = f \\ \mathbf{y} = \partial_t q(z_h, t) \end{cases}$

# Poutre $\mathcal{B}$

## Système Hamiltonien à ports

- Composants stockants:  $\begin{cases} \mathbf{x} = \mathbf{x}_{\mathcal{B}} \\ H_{\mathcal{B}}(\mathbf{x}_{\mathcal{B}}) = \frac{1}{2} \mathbf{x}^{\top} \begin{pmatrix} \kappa \mathbf{L} & \mathbf{0} \\ \mathbf{0} & \rho^{-1} \mathbf{I}_d \end{pmatrix} \mathbf{x}, \end{cases}$
- Composants dissipatifs:  $\begin{cases} \mathbf{w} = \partial_t \mathbf{q}_{\mathcal{B}} \\ z(\mathbf{w}) = \frac{\alpha}{\rho} \mathbf{w} \end{cases}$
- Source:  $\begin{cases} \mathbf{u} = f \\ \mathbf{y} = \partial_t q(z_h, t) \end{cases}$

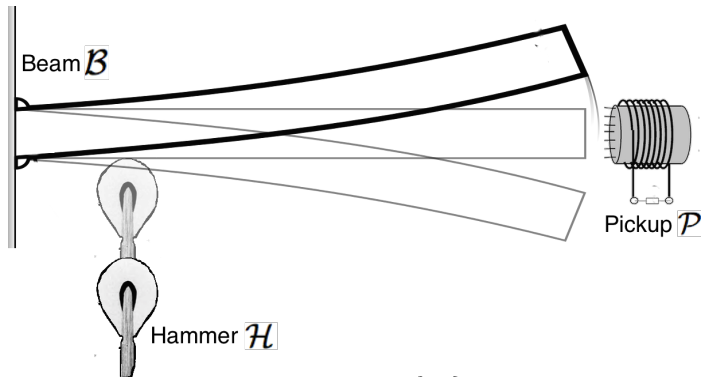
## Structure

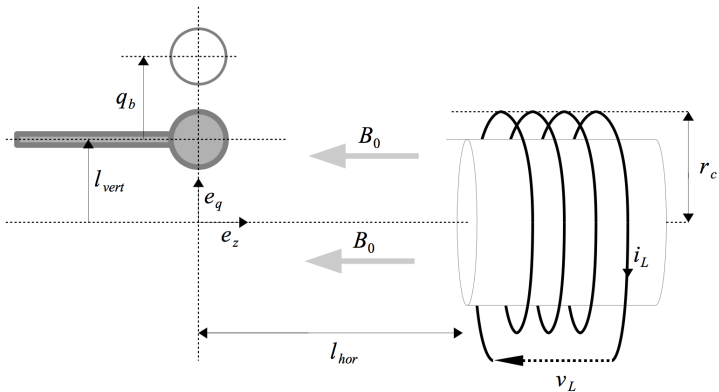
$$\mathbf{J}_{\mathbf{x}} = \begin{pmatrix} \mathbf{0} & \mathbf{I}_d \\ -\mathbf{I}_d & \mathbf{0} \end{pmatrix}, \quad \mathbf{K} = \begin{pmatrix} \mathbf{0} \\ \mathbf{I}_d \end{pmatrix}, \quad \mathbf{G}_{\mathbf{x}} = \begin{pmatrix} \mathbf{0} \\ \Omega \end{pmatrix}$$

$$\mathbf{J}_{\mathbf{w}} = \mathbf{0}, \quad \mathbf{G}_{\mathbf{w}} = \mathbf{0}, \quad \mathbf{J}_{\mathbf{y}} = \mathbf{0}$$



# Capteur $\mathcal{P}$



Capteur  $\mathcal{P}$ 

# Domaine magnétique

## Deux champs complémentaires

- champ d'excitation  $h$
- champ d'induction  $b = M_0(h) + M(h) \simeq M(h)$ .

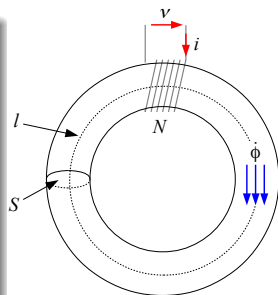
## Approximation

- $h$  constant sur une ligne de champ
- $b$  constant sur une section

alors

- force magnétomotrice (fmm)  $\xi = \oint_C h \cdot dl = l \cdot h$
- flux d'induction magnétique  

$$\phi = \iint_S b \cdot dS = S \cdot b$$



# Stockage dans les ferromagnétiques

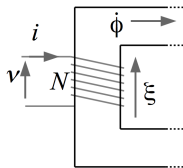
- On néglige la magnétisation du vide:  $h \equiv h(b) = M^{-1}(b)$ .
- Variation de la densité d'énergie magnétique:  $\frac{dE_{\text{mag}}}{dt} = h(b) \cdot \dot{b}$ .

## Variation d'énergie totale

$$\iiint_V \dot{\mathcal{E}} dV = S \int h(b) \dot{b} = \xi \dot{\phi} = \nabla H(x) \dot{x},$$

avec  $x = \phi$  et  $\nabla H(x) = S \int h\left(\frac{x}{S}\right) = \xi$ .

# Couplage électromagnétique



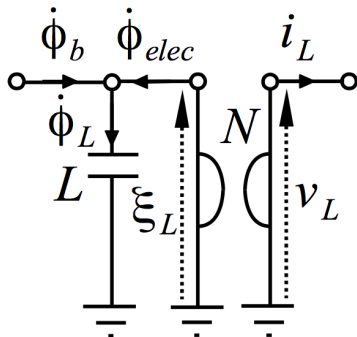
## Bobinage de $N$ tours à noyau ferreux

- Théorème d'Ampère:  $\xi = N i$ .
- Loi de Lenz-Faraday:  $\frac{d\phi}{dt} = \frac{1}{N} v$ .
- Gyrateur de Tellegen:  $\begin{pmatrix} v \\ i \end{pmatrix} = \begin{pmatrix} 0 & N \\ \frac{1}{N} & 0 \end{pmatrix} \cdot \begin{pmatrix} \xi \\ \phi \end{pmatrix}$ .
- Couplage conservatif:  $v \cdot i = \dot{\phi} \cdot \xi$ .

# Bobine $\equiv$ capacité magnétique

## 2 sources de variation du flux magnétique

- ① Variation induite par le mouvement de la poutre  $\dot{\phi}_b$
- ② Variation induite par la tension électrique  $\dot{\phi}_{elec} = \frac{v_L}{N}$



# Pickup $\mathcal{P}$

Modèle disponible: potentiel magnétique perturbé

$$\phi_b \equiv \phi_b(B_0, q_b, l_{\text{ver}}, l_{\text{hor}}, r_c, perm_{\text{rel}}, perm_0)$$

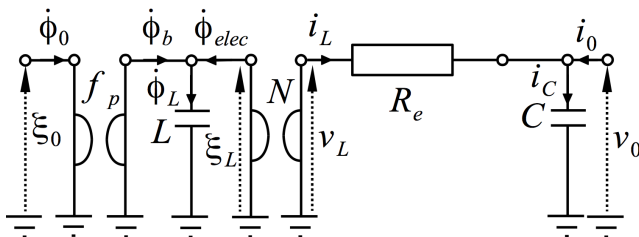
Variation  $\partial_t \phi_b \equiv$  modulation de la source d'excitation constante  $\xi_0 = \frac{IB_0}{\mu_0}$

$$\begin{aligned} \partial_t \phi_b &= f_p(q_b, \partial_t q_b) \xi_0 \\ f_p(q_b, \partial_t q_b) &= \frac{2a_b^2 \mu_0 \Delta_\mu r_c}{l} \left( \frac{f_1(q_b) - 2l_{\text{hor}}^2}{f_1^2(q_b)} - \frac{f_2(q_b) - 2l_{\text{hor}}^2}{f_2^2(q_b)} \right) \partial_t q_b \end{aligned}$$

avec

$$\begin{aligned} f_1(q_b) &= (q_b - r_c + l_{\text{ver}})^2 + l_{\text{hor}}^2, \\ f_2(q_b) &= (q_b + r_c + l_{\text{ver}})^2 + l_{\text{hor}}^2. \end{aligned}$$

# Capteur $\mathcal{P}$ et circuit de charge



## Système Hamiltonien à ports

- Composants stockants:  $\begin{cases} \mathbf{x} = (\phi_L, q_C)^\top \\ H_{\mathcal{P}}(\mathbf{x}) = \frac{1}{2L}x_1^2 + \frac{1}{2C}x_2^2 \end{cases}$
- Composants dissipatifs:  $\begin{cases} w = i_R \\ z(w) = R_e w \end{cases}$
- Sources:  $\begin{cases} \mathbf{u} = (\xi_0, i_0)^\top \\ \mathbf{y} = (\partial_t \phi_0, v_0)^\top \end{cases}$



# Capteur $\mathcal{P}$ et circuit de charge

## Structure

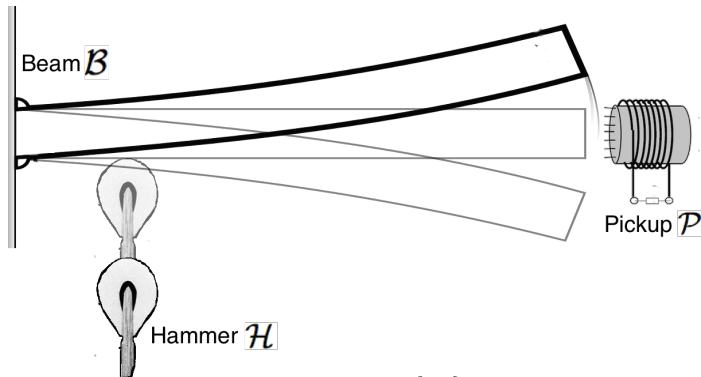
$$\mathbf{J}_{\mathbf{x}} = \begin{pmatrix} 0 & -\frac{1}{N} \\ \frac{1}{N} & 0 \end{pmatrix}, \quad \mathbf{K} = \begin{pmatrix} \frac{1}{N} \\ 0 \end{pmatrix}, \quad \mathbf{G}_{\mathbf{x}} = \begin{pmatrix} f_p(q_b, \partial_t q_b) & 0 \\ 0 & 1 \end{pmatrix}$$

$$\mathbf{J}_{\mathbf{w}} = 0, \quad \mathbf{G}_{\mathbf{w}} = 0, \quad \mathbf{J}_{\mathbf{y}} = 0$$

## Système Hamiltonien à ports

- Composants stockants:  $\begin{cases} \mathbf{x} = (\phi_L, q_C)^T \\ H_{\mathcal{P}}(\mathbf{x}) = \frac{1}{2L}x_1^2 + \frac{1}{2C}x_2^2 \end{cases}$
- Composants dissipatifs:  $\begin{cases} w = i_R \\ z(w) = R_e w \end{cases}$
- Sources:  $\begin{cases} \mathbf{u} = (\xi_0, i_0)^T \\ \mathbf{y} = (\partial_t \phi_0, v_0)^T \end{cases}$

# Système global $\mathcal{H} + \mathcal{B} + \mathcal{P}$



# Système global $\mathcal{H} + \mathcal{B} + \mathcal{P}$

## Stockage

- Concaténation des états:  $\mathbf{x} = (\mathbf{x}_{\mathcal{H}}^T, \mathbf{x}_{\mathcal{B}}^T, \mathbf{x}_{\mathcal{P}}^T)^T$ ,
- Somme des énergies:  $H(\mathbf{x}) = H_{\mathcal{H}}(\mathbf{x}_{\mathcal{H}}) + H_{\mathcal{B}}(\mathbf{x}_{\mathcal{B}}) + H_{\mathcal{P}}(\mathbf{x}_{\mathcal{P}})$ .

## Dissipation

- Concaténation des variables:  $\mathbf{w} = (\mathbf{w}_{\mathcal{H}}^T, \mathbf{w}_{\mathcal{B}}^T, \mathbf{w}_{\mathcal{P}}^T)^T$ ,
- Concaténation des lois constitutives:  $\mathbf{z} = (\mathbf{z}_{\mathcal{H}}^T, \mathbf{z}_{\mathcal{B}}^T, \mathbf{z}_{\mathcal{P}}^T)^T$ .

## Ports externes

Connexion de la poutre au marteau et

- Concaténation des autres entrées:  $\mathbf{u} = (f_h, h_0, i_0)^T$
- Concaténation des autres sorties:  $\mathbf{y} = (\partial_t q_h, \partial_t \phi_0, v_0)^T$ .

# Système global $\mathcal{H} + \mathcal{B} + \mathcal{P}$

## Stockage

- Concaténation des états:  $\mathbf{x} = (\mathbf{x}_{\mathcal{H}}^T, \mathbf{x}_{\mathcal{B}}^T, \mathbf{x}_{\mathcal{P}}^T)^T$ ,
- Somme des énergies:  $H(\mathbf{x}) = H_{\mathcal{H}}(\mathbf{x}_{\mathcal{H}}) + H_{\mathcal{B}}(\mathbf{x}_{\mathcal{B}}) + H_{\mathcal{P}}(\mathbf{x}_{\mathcal{P}})$ .

## Dissipation

- Concaténation des variables:  $\mathbf{w} = (\mathbf{w}_{\mathcal{H}}^T, \mathbf{w}_{\mathcal{B}}^T, \mathbf{w}_{\mathcal{P}}^T)^T$ ,
- Concaténation des lois constitutives:  $\mathbf{z} = (\mathbf{z}_{\mathcal{H}}^T, \mathbf{z}_{\mathcal{B}}^T, \mathbf{z}_{\mathcal{P}}^T)^T$ .

## Ports externes

Connexion de la poutre au marteau et

- Concaténation des autres entrées:  $\mathbf{u} = (f_h, h_0, i_0)^T$
- Concaténation des autres sorties:  $\mathbf{y} = (\partial_t q_h, \partial_t \phi_0, v_0)^T$ .

# Système global $\mathcal{H} + \mathcal{B} + \mathcal{P}$

## Stockage

- Concaténation des états:  $\mathbf{x} = (\mathbf{x}_{\mathcal{H}}^{\top}, \mathbf{x}_{\mathcal{B}}^{\top}, \mathbf{x}_{\mathcal{P}}^{\top})^{\top}$ ,
- Somme des énergies:  $H(\mathbf{x}) = H_{\mathcal{H}}(\mathbf{x}_{\mathcal{H}}) + H_{\mathcal{B}}(\mathbf{x}_{\mathcal{B}}) + H_{\mathcal{P}}(\mathbf{x}_{\mathcal{P}})$ .

## Dissipation

- Concaténation des variables:  $\mathbf{w} = (\mathbf{w}_{\mathcal{H}}^{\top}, \mathbf{w}_{\mathcal{B}}^{\top}, \mathbf{w}_{\mathcal{P}}^{\top})^{\top}$ ,
- Concaténation des lois constitutives:  $\mathbf{z} = (\mathbf{z}_{\mathcal{H}}^{\top}, \mathbf{z}_{\mathcal{B}}^{\top}, \mathbf{z}_{\mathcal{P}}^{\top})^{\top}$ .

## Ports externes

Connexion de la poutre au marteau et

- Concaténation des autres entrées:  $\mathbf{u} = (f_h, h_0, i_0)^{\top}$
- Concaténation des autres sorties:  $\mathbf{y} = (\partial_t q_h, \partial_t \phi_0, v_0)^{\top}$ .

Système global  $\mathcal{H} + \mathcal{B} + \mathcal{P}$ 

## Structure

$$\mathbf{J}_x = \begin{pmatrix} 0 & -1 & 0 & 0 & 0 & 0 \\ 1 & 0 & 0 & -\Omega^\top & 0 & 0 \\ 0 & 0 & 0 & \mathbf{I}_d & 0 & 0 \\ 0 & \Omega & -\mathbf{I}_d & 0 & 0 & 0 \\ 0 & 0 & 0 & 0 & 0 & -\frac{1}{N} \\ 0 & 0 & 0 & 0 & \frac{1}{N} & 0 \end{pmatrix},$$

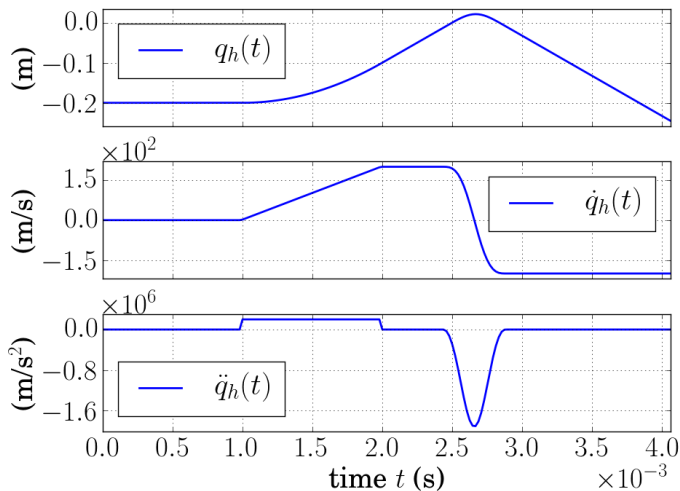
$$\mathbf{K} = \begin{pmatrix} 1 & 0 & 0 \\ 0 & 0 & 0 \\ 0 & 0 & 0 \\ -\Omega & \mathbf{I}_d & 0 \\ 0 & 0 & \frac{1}{N} \\ 0 & 0 & 0 \end{pmatrix}, \quad \mathbf{G}_x = \begin{pmatrix} 1 & 0 & 0 \\ 0 & 0 & 0 \\ 0 & 0 & 0 \\ 0 & 0 & 0 \\ 0 & f_p & 0 \\ 0 & 0 & 1 \end{pmatrix}$$

$$\mathbf{J}_w = 0, \quad \mathbf{G}_w = 0, \quad \mathbf{J}_y = 0$$

## Simulations

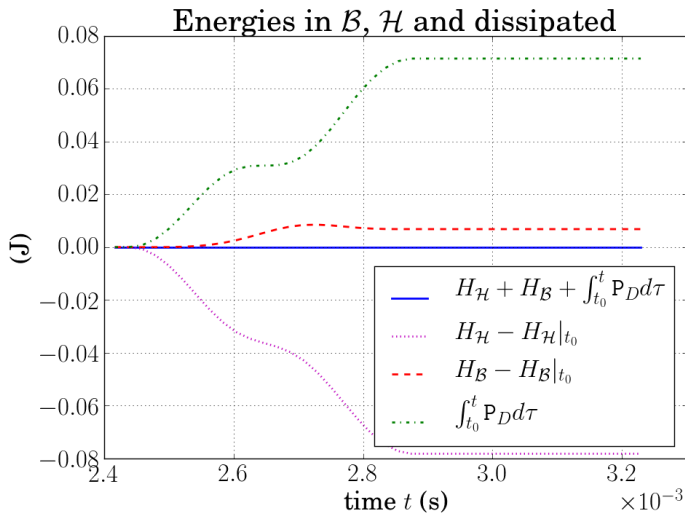
# Simulations

## Dynamics of the hammer

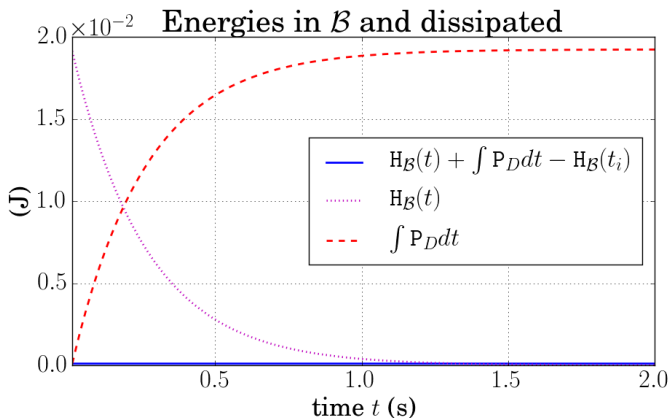




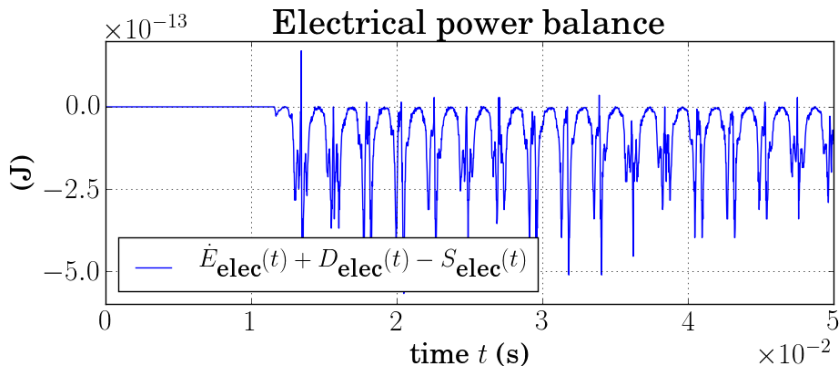
# Simulations



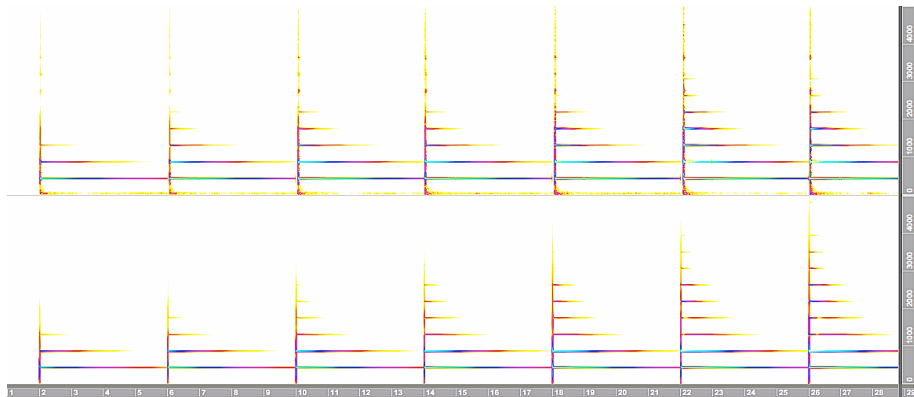
# Simulations



# Simulations

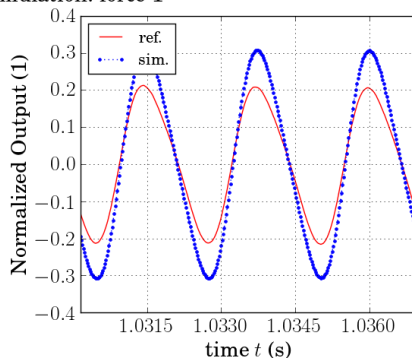
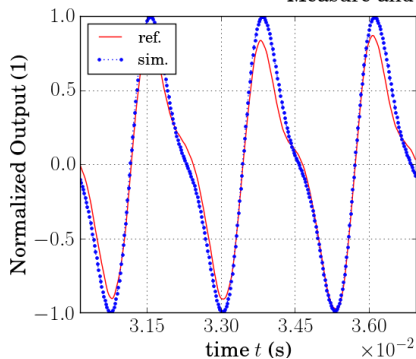


# Comparaisons aux mesures



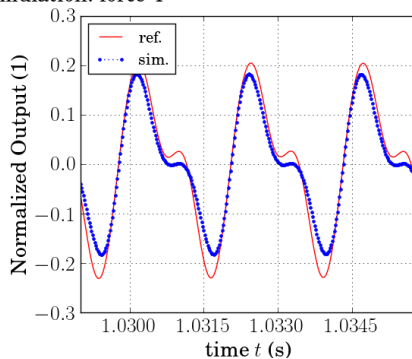
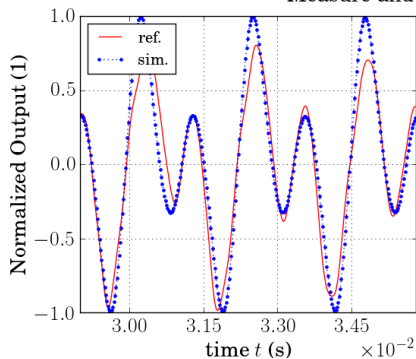
# Comparaisons aux mesures

Measure and simulation: force 1



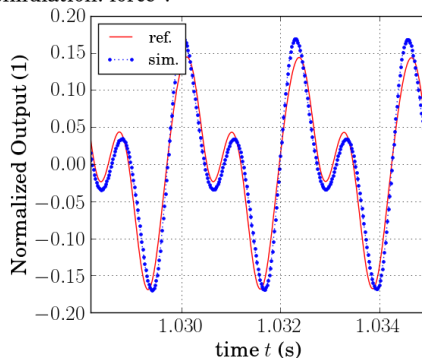
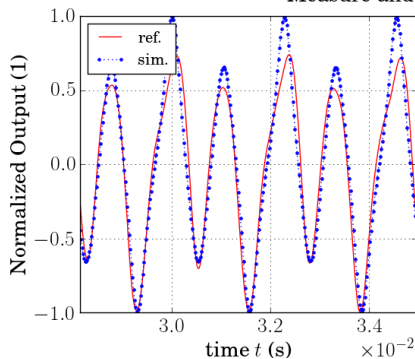
# Comparaisons aux mesures

Measure and simulation: force 4



# Comparaisons aux mesures

Measure and simulation: force 7



# Génération automatique

## Objectif

Génération automatique de la structure SHP à partir d'un dictionnaire de composants élémentaires et d'un schéma d'interconnexion.

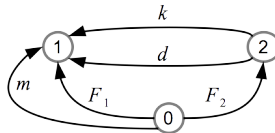
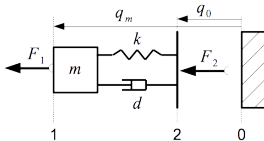
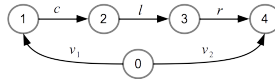
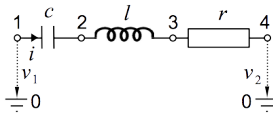
## Objets

- Le dictionnaire de composants encode les lois constitutives,
- Le graphe du système encode le schéma d'interconnexion.

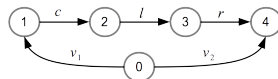
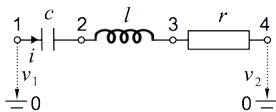


## Graphe du système

- Chaque paire (flux/effort) correspond à une branche,
- direction de la branche  $\equiv$  orientation positive du flux,
- convention récepteur pour l'effort.



# Système électrique



## Composants

- $n_x = 2$  stockants ( $c$  et  $l$ ),
- $n_w = 1$  dissipatifs ( $r$ ),
- $n_u = 2$  sources ( $v_1$  et  $v_2$ ).

## Graphe

- $n_N = 4$  noeuds plus la référence  $N_0$ ,
- $n_B = n_x + n_w + n_u = 5$  branches.

# Système électrique

## Dictionnaire

Label	Definitions	Effort $e$	Flux $f$
$l$	$x_l = \phi \quad h_l(x_l) = \frac{x_l^2}{2L}$	$e_l = \partial_t x_l$	$f_l = h'_l(x_l)$
$c$	$x_c = q \quad h_c(x_c) = \frac{x_c^2}{2C}$	$e_c = h'_c(x_c)$	$f_c = \partial_t x_c$
$r$	$w_r = i \quad z_r(w_r) = R w_r$	$e_r = z_r(w_r)$	$f_r = w_r$
$v_1$	$u_1 = v_1 \quad y_1 = i$	$e_1 = u_1$	$f_1 = y_1$
$v_2$	$u_2 = v_2 \quad y_2 = i$	$e_2 = u_2$	$f_2 = y_2$

$$\begin{pmatrix} e_l \\ f_c \\ f_r \\ f_1 \\ f_2 \end{pmatrix} = \left( \begin{array}{cc|cc} 0 & -1 & -1 & -1 & 1 \\ 1 & 0 & 0 & 0 & 0 \\ \hline 1 & 0 & 0 & 0 & 0 \\ \hline 1 & 0 & 0 & 0 & 0 \\ -1 & 0 & 0 & 0 & 0 \end{array} \right) \begin{pmatrix} f_l \\ e_c \\ e_r \\ e_1 \\ e_2 \end{pmatrix}.$$

## Structure SHP

- ① arrangement des flux  $\mathbf{f}$  et efforts  $\mathbf{e}$  en deux vecteurs  $\mathbf{a}$  et  $\mathbf{b}$ ,
- ② relations d'interconnexion  $\mathbf{a} = \mathbf{J}\mathbf{b}$ ,

$\mathbf{J}$  correspond aux lois de conservations qui s'appliquent sur  $\mathbf{f}$  et  $\mathbf{e}$ .

Composants stockants et sources: l'étape ① est directe.

Composants dissipatifs: on choisit un pilotage par l'effort ou le flux.

Type	effort-controlled <sup>a</sup>		flux-controlled <sup>b</sup>	
	$e$	$f$	$f$	$e$
Stockage	$\partial_t x$	$h'(x)$	$\partial_t x$	$h'(x)$
Dissipation	$w$	$z(w)$	$w$	$z(w)$
Source	$y$	$u$	$y$	$u$

## Conventions

Graphe  $G = (N, B)$  avec  $n_N + 1$  noeuds et  $n_B = n_x + n_w + n_u$  branches,

Potentiels:  $\epsilon = (\epsilon_0, \dots, \epsilon_{n_N})^T$  sur les noeuds,

Flux/effort  $(e_b, f_b)$  sur chaque branche:  $(\mathbf{e}, \mathbf{f}) \in \mathbb{R}^{2n_B}$ .

Convention récepteur pour une branche  $B_b : N_i \rightarrow N_j$ ,  $e_b = \epsilon_i - \epsilon_j$

puissance reue:  $P_n = e_n f_n$ .

Matrice d'incidence  $\Gamma \in \mathbb{R}^{n_N+1 \times n_B}$

$$[\Gamma]_{i,j} = \begin{cases} 1 & \text{si la branche } j \text{ entre le noeud } i \\ -1 & \text{si la branche } j \text{ sort du noeud } i \end{cases}$$

# Partition du graphe

## Partition des branches $B = \{B_1, B_2\}$

- $B_1$  l'ensemble des  $n_1$  branches contrôlées par l'effort
- $B_2$  l'ensemble des  $n_2$  branches contrôlées par le flux

## Partition de la matrice d'incidence

$$\Gamma = \left( \begin{array}{c|c} \gamma_0 & \\ \hline \gamma_1 & \gamma_2 \end{array} \right), \quad \text{avec } \gamma_0 \in \mathbb{R}^{1 \times n_B}, \gamma_1 \in \mathbb{R}^{n_N \times n_1}, \gamma_2 \in \mathbb{R}^{n_N \times n_2}.$$

Le potentiel  $\epsilon_0$  sur  $N_0$  n'influence pas les flux et efforts du système.

$$\mathbf{e} = (\mathbf{e}_1, \mathbf{e}_2)^T \text{ et } \mathbf{f} = (\mathbf{f}_1, \mathbf{f}_2)^T$$

- $\tilde{\mathbf{a}} = (\mathbf{e}_1, \mathbf{f}_2)^T,$
- $\tilde{\mathbf{b}} = (\mathbf{f}_1, \mathbf{e}_2)^T.$

# Lois de conservation

## Lois de Kirchhoff généralisées

$$\begin{aligned}(\gamma_1, \gamma_2)^T \epsilon &= \mathbf{e}, \\ (\gamma_1, \gamma_2) \mathbf{f} &= 0.\end{aligned}$$

## Proposition

Le graph  $G = \{N, (B_1, B_2)\}$  est réalisable sous la forme SHP si et seulement si  $\gamma_2$  est inversible.

- $\mathbf{e}_1 = \gamma_1^T \epsilon$  et  $\mathbf{e}_2 = \gamma_2^T \epsilon$ ,
- $\gamma_2 \mathbf{f}_2 = -\gamma_1 \mathbf{f}_1$ ,
- si  $\gamma_2$  est inversible, on définit  $\gamma = \gamma_2^{-1} \gamma_1$

$$\underbrace{\begin{pmatrix} \mathbf{e}_1 \\ \mathbf{f}_2 \end{pmatrix}}_{\tilde{\mathbf{b}}} = \underbrace{\begin{pmatrix} 0 & \gamma^T \\ -\gamma & 0 \end{pmatrix}}_{\tilde{\mathbf{j}}} \underbrace{\begin{pmatrix} \mathbf{f}_1 \\ \mathbf{e}_2 \end{pmatrix}}_{\tilde{\mathbf{a}}}.$$

# Algorithme

Détermine le type des composants dissipatifs pour que  $\gamma_2$  soit inversible.

Matrice de réalisabilité

$$[\Lambda]_{i,j} = \begin{cases} 1 & \text{si la branche } j \text{ impose le potentiel sur le noeud } i, \\ 0 & \text{sinon.} \end{cases}$$

Partition

$$\Lambda = \left( \begin{array}{c|c} \lambda_0 & \\ \hline \lambda_1 & \lambda_2 \end{array} \right).$$



# Algorithme

## Matrice de réalisabilité

$$[\Lambda]_{i,j} = \begin{cases} 1 & \text{si la branche } j \text{ impose le potentiel sur le noeud } i, \\ 0 & \text{sinon.} \end{cases}$$

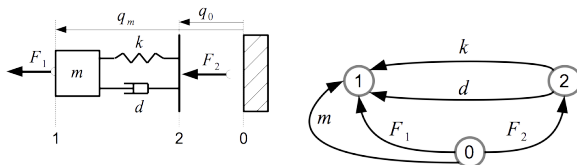
## Partition

$$\Lambda = \left( \begin{array}{c|c} \lambda_0 & \\ \hline \lambda_1 & \lambda_2 \end{array} \right).$$

## Heuristiques

- Si  $\lambda_2$  est une matrice de permutation, le graphe  $G$  est réalisable.
- Aucune branche n'impose le potentiel sur  $N_0 \Rightarrow \lambda_0 = 0$ .
- Aucune branche de  $B_1$  n'impose de potentiel  $\Rightarrow \Lambda(:, B_1) = 0$ .
- Les branches  $B_2$  propagent le potentiel d'un noeud à l'autre  $\Rightarrow \sum \Lambda(:, b) = 1, \forall b \in B_2$ .

# Exemple



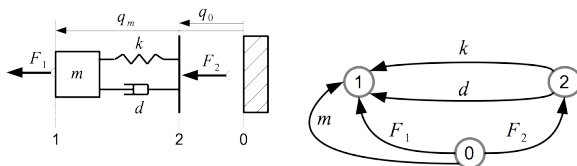
## Partition

- $B_1 = \{B_k, B_d, B_{F_1}\}$  contrôlées par l'effort,
- $B_2 = \{B_m, B_{F_2}\}$  contrôlées par le flux.

## Matrice d'incidence

$$\Gamma = \left( \begin{array}{ccc|cc} B_k & B_d & B_{F_1} & B_m & B_{F_2} \\ 0 & 0 & 1 & 1 & 1 \\ -1 & -1 & -1 & -1 & 0 \\ 1 & 1 & 0 & 0 & -1 \end{array} \right) \begin{array}{l} N_0 \\ N_1 \\ N_2 \end{array};$$

# Exemple



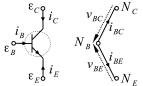
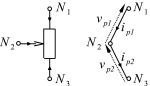
## Partition

- $B_1 = \{B_k, B_d, B_{F_1}\}$  contrôlées par l'effort,
- $B_2 = \{B_m, B_{F_2}\}$  contrôlées par le flux.

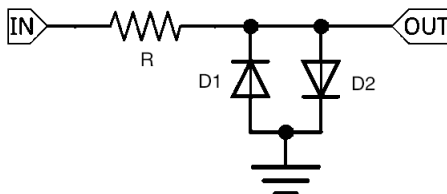
## Matrice de réalisabilité retournée par l'algorithme

$$\Lambda = \left( \begin{array}{ccc|cc} B_k & B_d & B_{F_1} & B_m & B_{F_2} \\ 0 & 0 & 0 & 0 & 0 \\ 0 & 0 & 0 & 1 & 0 \\ 0 & 0 & 0 & 0 & 1 \end{array} \right) \begin{array}{l} N_0 \\ N_1 \\ N_2 \end{array}.$$

# éléments composés

3-ports			
Dissipative	Diagram	$\mathbf{w}$	$\mathbf{z}(\mathbf{w})$
NPN Transistor		$\begin{pmatrix} v_{BC} \\ v_{BE} \end{pmatrix}$	$\begin{pmatrix} i_{BC} \\ i_{BE} \end{pmatrix} = \begin{pmatrix} \alpha_R & -1 \\ -1 & \alpha_F \end{pmatrix} \cdot \begin{pmatrix} I_S \left( e^{v_{BC}/v_t} - 1 \right) \\ I_S \left( e^{v_{BE}/v_t} - 1 \right) \end{pmatrix}$
Potentiometer		$\begin{pmatrix} v_{p1} \\ v_{p2} \end{pmatrix}$	$\begin{pmatrix} i_{p1} \\ v_{p2} \end{pmatrix} = \begin{pmatrix} v_{p1}/(1 + \alpha \cdot R_p) \\ i_{p2} \cdot (1 + (1 - \alpha) \cdot R_p) \end{pmatrix}$

# Application: Diode-clipper



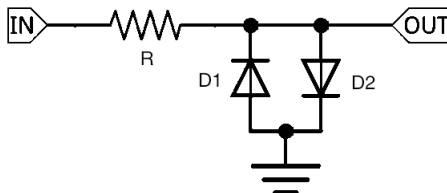
## Graphe

- $n_w = 3$  (résistance et 2 diodes)
- $n_u = 2$  (entrée/sortie)

## Système Hamiltonien à ports

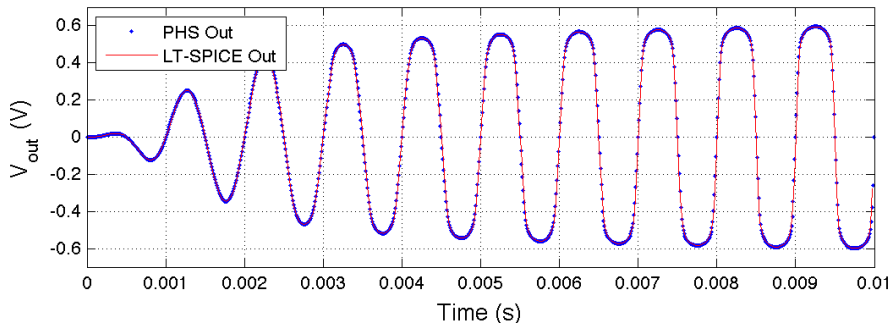
$$\underbrace{\begin{pmatrix} i_R \\ v_{D1} \\ v_{D2} \\ i_{IN} \\ v_{OUT} \end{pmatrix}}_{\mathbf{b}} = \underbrace{\left( \begin{array}{ccc|cc} 0 & -1 & 1 & 0 & -1 \\ 1 & 0 & 0 & 1 & 0 \\ -1 & 0 & 0 & -1 & 0 \\ \hline 0 & -1 & 1 & 0 & -1 \\ 1 & 0 & 0 & 1 & 0 \end{array} \right)}_{\mathbf{J}} \cdot \underbrace{\begin{pmatrix} v_R \\ i_{D1} \\ i_{D2} \\ v_{IN} \\ i_{OUT} \end{pmatrix}}_{\mathbf{a}}.$$

# Application: Diode-clipper

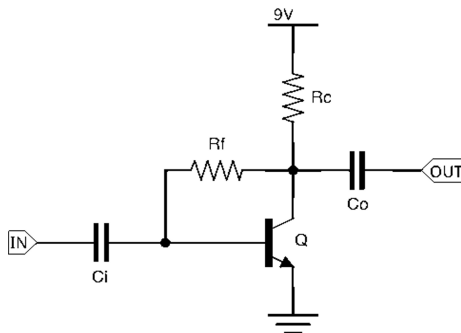


## Graphe

- $n_w = 3$  (résistance et 2 diodes)
- $n_u = 2$  (entrée/sortie)



# Application: Amplificateur audio à transistor



## Graphe

- $n_x = 2$  (2 capacitances)
- $n_w = 4$  (2 résistances et 2 transistors)
- $n_u = 2$  (entrée/sortie et 9V)

# Application: Amplificateur audio à transistor

Système Hamiltonien à ports ( $R_c$  est pilotée en courant et  $R_f$  en tension)

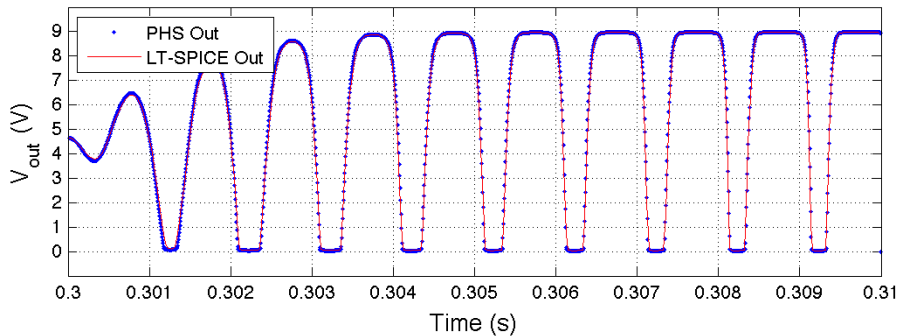
$$\mathbf{b} = (i_{Ci}, i_{Co} | v_{Rf}, i_{Rc}, v_{Bc}, v_{Be} | i_{IN}, v_{OUT}, i_{VCC})$$

$$\mathbf{a} = (v_{Ci}, v_{Co} | i_{Rf}, v_{Rc}, i_{Bc}, i_{Be} | v_{IN}, i_{OUT}, v_{VCC})$$

$$\mathbf{J} = \left( \begin{array}{cc|cccc|ccc} 0 & 0 & 1 & 0 & -1 & 1 & 0 & 0 & 0 \\ 0 & 0 & 0 & 0 & 0 & 0 & 0 & -1 & 0 \\ \hline -1 & 0 & 0 & -1 & 0 & 0 & -1 & 0 & 1 \\ 0 & 0 & 1 & 0 & -1 & 0 & 0 & 1 & 0 \\ 1 & 0 & 0 & 1 & 0 & 0 & 1 & 0 & -1 \\ -1 & 0 & 0 & 0 & 0 & 0 & -1 & 0 & 0 \\ \hline 0 & 0 & 1 & 0 & -1 & 1 & 0 & 0 & 0 \\ 0 & 1 & 0 & -1 & 0 & 0 & 0 & 0 & 1 \\ 0 & 0 & -1 & 0 & 1 & 0 & 0 & -1 & 0 \end{array} \right)$$



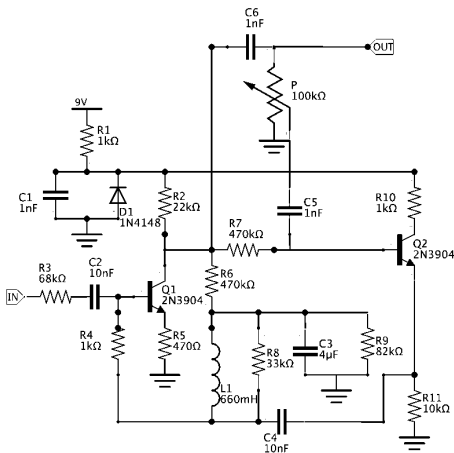
# Application: Amplificateur audio à transistor



# Application: pédale d'effet "wah-wah" Dunlop CryBaby



# Application: pédale d'effet "wah-wah" Dunlop CryBaby



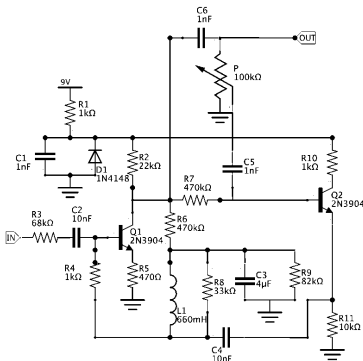
## Graphe

- $n_x=7$  branches de stockage (6 capacités et 1 inductance),
- $n_w=18$  branches dissipatives (11 résistances, 1 diode, 2 NPN transistors et 1 potentiometer),
- $n_u=3$  ports (entrée/sortie et 9V).

Le potentiomètre pilote l'effet audio.

# Application: pédale d'effet "wah-wah" Dunlop CryBaby

Résistances  $R_1, R_6 \dots R_9$  et  $R_{11}$  sont contrôlées par l'effort.



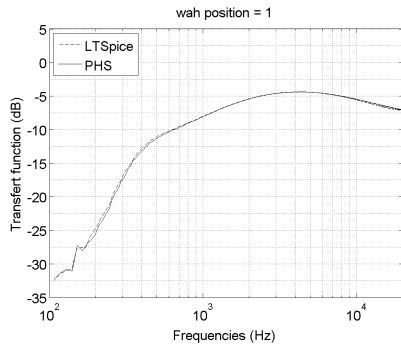
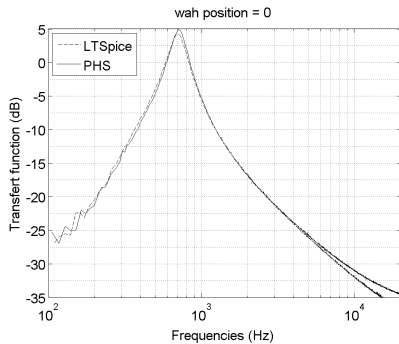
Système Hamiltonien à ports

$$\begin{aligned}\dot{\mathbf{x}} &= [i_{C1}, \dots, i_{C6}, v_{L1}]^T, \\ \nabla H(\mathbf{x}) &= [v_{C1}, \dots, v_{C6}, i_{L1}]^T,\end{aligned}$$

$$\begin{aligned}\mathbf{w} &= [\mathbf{w}_R | v_d | v_{BC1}, v_{BE1} | v_{BC2}, v_{BE2} | v_{p1}, i_{p2}]^T, \\ \mathbf{z}(\mathbf{w}) &= [\mathbf{z}_R | i_d | i_{BC1}, i_{BE1} | i_{BC2}, i_{BE2} | i_{p1}, v_{p2}]^T,\end{aligned}$$

( $\mathbf{w}_R$  et  $\mathbf{z}_R$  en fonction du type de contrôle)

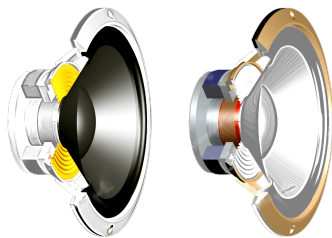
$$\begin{aligned}\text{Entrées } \mathbf{u} &= [v_{in}, i_{out}, v_{cc}]^T, \\ \text{Sorties } \mathbf{y} &= [i_{in}, v_{out}, i_{cc}]^T.\end{aligned}$$



# Le haut-parleur électrodynamique

## Un modèle de haut parleur, pour quoi?

- ~~Simulation directe pour écoute~~
- Monitoring en fonctionnement (température, état mécanique)
- Prototypage
- Compensation des non-linéarités



# Modèle SHP du haut-parleur

## Composant électriques

Labels	flux $\equiv i$ (A)		effort $\equiv v$ (V)
(c) $x_C = \phi$	$H_C(x_C) = \frac{x_C^2}{2 \cdot L}$	$i_C = \frac{\partial H_C}{\partial x_C}$	$v_C = \partial_t x_C$
(r) $w_r = i_r$	$z_r(w_r) = R_r \cdot w_r$	$i_r = w_r$	$v_r = z_r(w_r)$
(a)		$i_a = y_a$	$v_a = u_a$

## Composants mécaniques

Labels	flux $\equiv \partial_t q$ ( $\frac{m}{s}$ )		effort $\equiv F$ (N)
(m) $x_m = m \cdot \partial_t q$	$H_m(x_m) = \frac{x_m^2}{2 \cdot m}$	$\partial_t q = \frac{\partial H_m}{\partial x_m}$	$F_m = \partial_t x_m$
(s) $x_s = q$	$H_s(x_s) = \frac{k_0}{2} x_s^2 + H_{sat}(x_s)$	$\partial_t q = \partial_t x_s$	$F_s = \frac{\partial H_s}{\partial x_s}$
(d) $w_d = \partial_t q$	$z_d(w_d) = R_d \cdot w_d$	$\partial_t q = w_d$	$F_d = z_d(w_d)$

# Modèle SHP du haut-parleur

La matrice de connection est obtenue à partir des lois de Kirchhoff et de Newton appliquées à

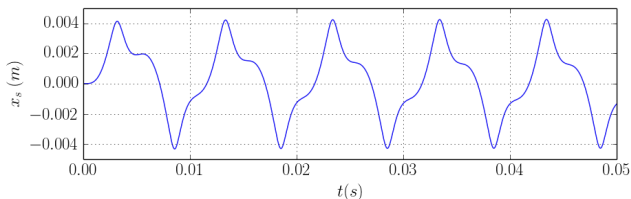
$$\begin{aligned}
 \partial_t \mathbf{x} &= [v_C, m \partial_t^2 q, \partial_t q]^T, & \nabla H(\mathbf{x}) &= [i_C, \partial_t q, F_S]^T \\
 \mathbf{w} &= [i_r, \partial_t q]^T, & \mathbf{z} &= [v_r, F_d]^T \\
 \mathbf{y} &= i_a, & \mathbf{u} &= v_a
 \end{aligned} \tag{2}$$

$$\mathbf{J}_x = \begin{pmatrix} 0 & -Bl & 0 \\ +Bl & 0 & -1 \\ 0 & +1 & 0 \end{pmatrix}, \quad \mathbf{K} = \begin{pmatrix} 1 & 0 \\ 0 & 1 \\ 0 & 0 \end{pmatrix}, \quad \mathbf{G}_x = \begin{pmatrix} 1 \\ 0 \\ 0 \end{pmatrix} \tag{3}$$

$\mathbf{J}_w = 0, \mathbf{G}_w = 0, \mathbf{J}_y = 0.$



# Résultats de simulation directe



**Figure:** Position simulée sous excitation sinusodale 100V/100Hz (FANE Sovereign 12-500LF).

Parameter	Value	Paramètre	Valeur
$m$	0.075 (kg)	$Bl$	16.37 (T·m)
$L$	2.36 (mH)	$k_0$	7.14 (N·m <sup>-1</sup> )
$R_r$	5.9 (Ω)	$k_s$	100 (N·m <sup>-1</sup> )
$R_d$	3 (N·s·m <sup>-1</sup> )	$q_{sat}$	5.17 (mm)

**Table:** Physical parameters for the FANE Sovereign 12-500LF loudspeaker.

# Platitude et planification de trajectoire: Le principe

On dispose d'un ensemble de variables indépendantes  $\mu \in \mathbb{R}^{n_\mu}$  tel que

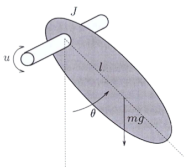
$$\mathbf{x} = \varphi_{\mathbf{x}}(\mu, \partial_t \mu, \dots, \partial_t^{(n)} \mu)$$

$$\mathbf{u} = \varphi_{\mathbf{u}}(\mu, \partial_t \mu, \dots, \partial_t^{(m)} \mu).$$

Alors pour toute trajectoire admissible  $\mu^*$

$$\mathbf{x}^* = \varphi_{\mathbf{x}}(\mu^*, \partial_t \mu^*, \dots, \partial_t^{(n)} \mu^*)$$

$$\mathbf{u}^* = \varphi_{\mathbf{u}}(\mu^*, \partial_t \mu^*, \dots, \partial_t^{(m)} \mu^*)$$



Exemple:  $u(t) = J\partial_t^2\theta(t) + mgl \sin \theta(t)$

Variable plate:  $\theta$

On souhaite suivre la trajectoire  $\theta^*(t)$

Commande:  $u^*(t) = J\partial_t^2\theta^*(t) + mgl \sin \theta^*(t)$

# Loi de commande

## Platitude du haut-parleur

- La position est la sortie plate  $\mu = q$

- $\mu = \varphi_{\mu}(x_3)$

- $\mathbf{x} = \varphi_{\mathbf{x}}(\mu, \partial_t \mu, \partial_t^2 \mu) = \begin{pmatrix} \frac{L}{Bl} (m \cdot \partial_t^2 \mu + R_d \cdot \partial_t \mu + F_s(\mu)) \\ m \cdot \partial_t \mu \\ \mu \end{pmatrix}$

## Expression analytique de l'entrée $v_a = \mathbf{u}$

$$\begin{aligned} \mathbf{u} = \varphi_{\mathbf{u}}(\mu, \partial_t \mu, \partial_t^2 \mu, \partial_t^3 \mu) = & \frac{m \cdot L}{Bl} \cdot \partial_t^3 \mu + \frac{R_d \cdot L + R_e \cdot m}{Bl} \cdot \partial_t^2 \mu \\ & + \left( \partial_x F_s(\mu) + \frac{L + R_e \cdot R_d}{Bl} + Bl \right) \cdot \partial_t \mu \\ & + \frac{R_r}{Bl} \cdot F_s(\mu). \end{aligned}$$

# Interprétation par les SHP

Entrée du sous-système mécanique (m, s, d):  $F_L = F_m + F_s + F_d$

Masse  $F_m \xleftarrow{\partial_t} m \partial_t q \xleftarrow{\frac{\partial_x H_m^{-1}}{\partial_t q}} \mu$

Force de rappel  $F_s \xleftarrow{\frac{\partial_x H_s}{\partial_t q}} \mu$

Amortissement  $F_d \xleftarrow{\frac{z_d}{\partial_t q}} \mu.$

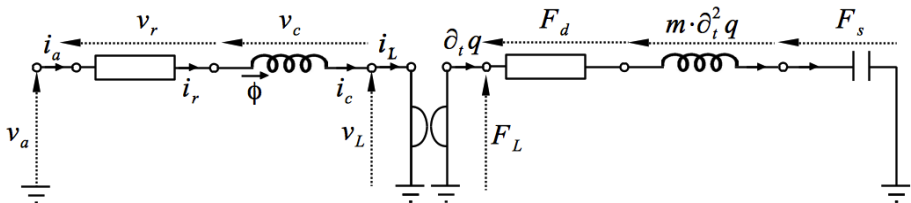


Figure: Schéma électrique équivalent.

# Interprétation par les SHP

Entrée du sous-système mécanique (m, s, d):  $F_L = F_m + F_s + F_d$

$$\text{Masse} \quad F_m \stackrel{\partial_t}{\leftarrow} m \partial_t q \stackrel{\partial_x H_m^{-1}}{\leftarrow} \partial_t q \stackrel{\partial_t}{\leftarrow} \mu$$

$$\text{Force de rappel} \quad F_s \stackrel{\partial_x H_s}{\leftarrow} \mu$$

$$\text{Amortissement} \quad F_d \stackrel{z_d}{\leftarrow} \partial_t q \stackrel{\partial_t}{\leftarrow} \mu.$$

entrée du sous-système électrique:  $v_a = v_c + v_r + v_L$

$$\text{Bobine} \quad v_c \stackrel{\partial_t}{\leftarrow} \phi \stackrel{\partial_x H_c^{-1}}{\leftarrow} i_c = F_L / Bl$$

$$\text{Résistance} \quad v_r \stackrel{z_r}{\leftarrow} i_r = F_L / Bl$$

$$\text{Tension induite} \quad v_L = Bl \cdot \partial_t \mu.$$

# Interpretation par les SHP

## Coordonnées de Brunovsky naturelle

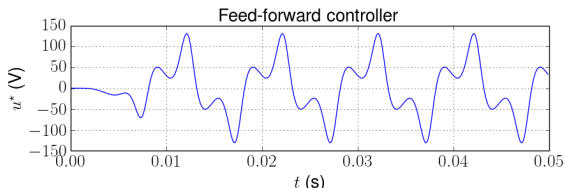
$$\begin{aligned} \mathbf{x} &= \varphi_{\mathbf{x}}(\mu, \partial_t \mu, \partial_t^2 \mu) \\ &= \begin{pmatrix} (\partial_x H_C)^{-1} \left( \frac{\partial_t (\partial_x H_M)^{-1} (\partial_t \mu) + z_d (\partial_t \mu) + \partial_x H_S(\mu)}{Bl} \right) \\ (\partial_x H_M)^{-1} (\partial_t \mu) \\ \mu \end{pmatrix} \end{aligned}$$

## Dimensionnement des actionneurs

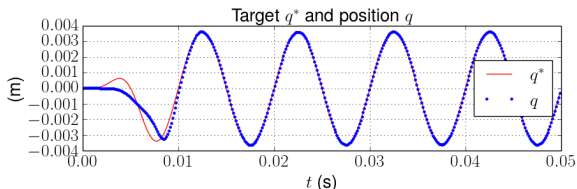
- On dispose de  $\mathbf{u}(\mu, \partial_t \mu, \dots)$  et  $\mathbf{y}(\mu, \partial_t \mu, \dots)$ ,
- Puissance nécessaire pour atteindre et suivre la trajectoire:

$$\mathcal{P}(\mu, \partial_t \mu, \dots) = \mathbf{u}(\mu, \partial_t \mu, \dots)^\top \cdot \mathbf{y}(\mu, \partial_t \mu, \dots)$$

# Resultats

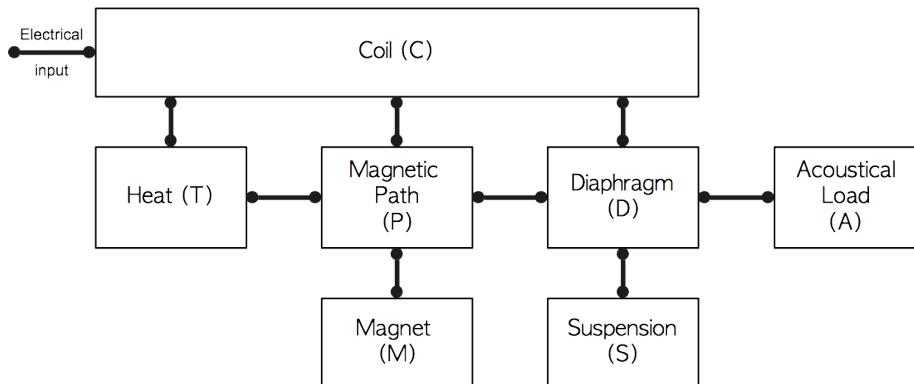


**Figure:** Tension d'entrée  $v_a^*$  pour une trajectoire cible sinusodale (régularisée à l'origine) d'amplitude 3.62mm et fréquence  $f_0 = 100$  Hz.



**Figure:** Cible et simulation pour la sortie plate.

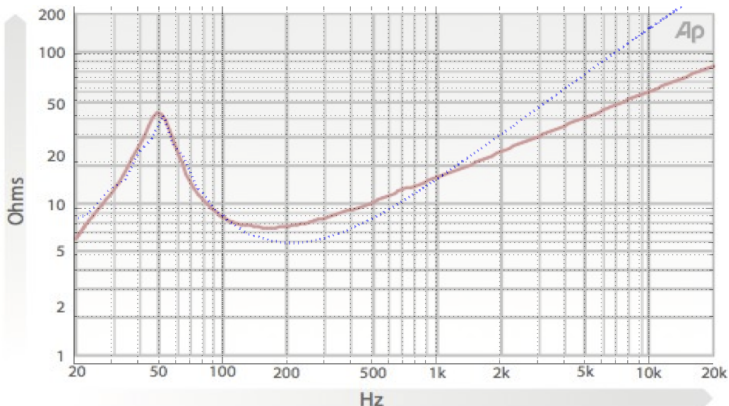
# Raffinement du modèle standard



- 1 Prise en compte explicite du circuit magnétique.
- 2 Dynamiques fractionnaires (courants de Foucault et relaxation).
- 3 Dynamique de la température.



# Impédance électrique



# Intégrateur fractionnaire $y_\beta(s) = s^{-\beta} u_\beta(s)$

Variable de Laplace  $s = \rho e^{i\theta}$  avec  $\rho \geq 0$  et  $\theta \in [-\pi, \pi[$

$\mathcal{T}_\beta(\rho e^{-i\pi}) \neq \mathcal{T}_\beta(\rho e^{i\pi}) \Rightarrow$  coupure le long de  $\mathcal{C} = \mathbb{R}_-$

## Théorème des résidus

$\mathcal{T}_\beta \equiv$  agrégation continue sur  $\mathcal{C}$  d'amortissements linéaires

$$\begin{aligned} \mathcal{T}_\beta(s) : \mathbb{C} \setminus \mathbb{R}_- &\rightarrow \mathbb{C} \\ s &\mapsto \int_0^\infty \mu_\beta(\xi) \frac{1}{s+\xi} d\xi \end{aligned}$$

$$\mu_\beta(\xi) = \frac{\mathcal{T}_\beta(-\xi - i0^+) - \mathcal{T}_\beta(-\xi + i0^+)}{2i\pi} = \frac{\sin(\beta\pi)}{\pi} \xi^{-\beta} \quad (\text{saut de } \mathcal{T}_\beta \text{ au travers de } \mathcal{C}).$$

## Représentation d'état de $y_\beta(s) = \mathcal{T}_\beta(s) u_\beta(s)$

$$\begin{cases} \frac{dx_\xi}{dt} = -\xi x_\xi + u_\beta, & x_\xi(0) = 0, \\ y_\beta = \int_0^{+\infty} \mu_\beta(\xi) x_\xi d\xi. \end{cases}$$

# Intégrateur fractionnaire $y_\beta(s) = s^{-\beta} u_\beta(s)$

Approximation sur un ensemble fini de pôles  $\xi_n \in \mathcal{C}$ ,  $n \in [1, \dots, N]$

$$\hat{\mathcal{T}}_\alpha(s) = \sum_{n=1}^N \frac{\mu_n}{s + \xi_n} = \mathbf{E}(s) \cdot \boldsymbol{\mu} \quad \text{with} \quad \mathbf{E}(s) = \left( \frac{1}{s + \xi_1} \cdots \frac{1}{s + \xi_N} \right)^T.$$

- Progression exponentielle pour les pôles  $\xi_n = 10^{\ell_n} \in \mathcal{C}$ ,  $0 \leq n \leq N+1$ ,
- Critères perceptifs  $\Rightarrow$  objectif  $\mathcal{O}(\boldsymbol{\mu}) = \int_{\omega_-}^{\omega_+} \left| 1 - \frac{\hat{\mathcal{T}}_\beta(s=i\omega)}{\mathcal{T}_\beta(s=i\omega)} \right|^2 d \ln \omega$ .

En pratique: somme finie sur une grille fréquentielle (de dimension  $K+1$ )

$$\hat{\mathcal{O}}(\boldsymbol{\mu}) = \overline{(\mathbf{M}\boldsymbol{\mu} - \boldsymbol{\mathcal{T}})}^T \mathbf{W}(\mathbf{M}\boldsymbol{\mu} - \boldsymbol{\mathcal{T}}),$$

où les lignes de  $\mathbf{M}$  sont  $[\mathbf{M}]_{k,*} = \mathbf{E}(s=i\omega_{k-\frac{1}{2}})^T$ ,  $\omega_{k-\frac{1}{2}} = \sqrt{\omega_{k-1}\omega_k}$ ,  
 $[\boldsymbol{\mathcal{T}}]_k = \mathcal{T}_\beta(s=i\omega_{k-\frac{1}{2}})$ ,  $[\mathbf{W}]_{k,k} = (\ln \omega_k - \ln \omega_{k-1}) / |[\boldsymbol{\mathcal{T}}]_k|^2$ .

# Intégrateur fractionnaire $y_\beta(s) = s^{-\beta} u_\beta(s)$

Minimisation sous contrainte de positivité  $\hat{\mu} = \{\min_{\mu} \hat{\mathcal{O}}(\mu) : \mu > 0\}$

Système Hamiltonien à ports:  $p_n = \frac{1}{\hat{\mu}_n}$  et  $r_n = p_n \xi_n, \forall n \in (1 \cdots N)$

- $n_x = N$  composants stockants d'énergies  $H_n(x_n) = \frac{x_n^2}{2p_n}$ ,
- $n_w = N$  composants dissipatifs de lois constitutives  $z_n(w_n) = r_n \cdot w_n$
- $n_u = 1$  port  $(u_\beta, y_\beta)$

$$\begin{pmatrix} \frac{d\hat{\mathbf{x}}_\alpha}{dt} \\ \hat{\mathbf{w}}_\alpha \\ \hat{y}_\alpha \end{pmatrix} = \begin{pmatrix} \mathbb{0}_{N \times N} & -\mathbf{I}_{dN} & \mathbb{1}_{N \times 1} \\ \mathbf{I}_{dN} & \mathbb{0}_{N \times N} & \mathbb{0}_{N \times 1} \\ \mathbb{1}_{1 \times N} & \mathbb{0}_{1 \times N} & \mathbb{0}_{1 \times 1} \end{pmatrix} \cdot \begin{pmatrix} \frac{\partial \hat{H}_\alpha}{\partial \hat{\mathbf{x}}_\alpha} \\ \hat{\mathbf{z}}_\alpha(\hat{\mathbf{w}}_\alpha) \\ \hat{u}_\alpha \end{pmatrix},$$

## Interprétation

- $u_\beta \equiv i$  et  $y_\beta \equiv v \rightarrow$  connexion série de  $N$  cellules  $RC$  parallèle,
- $y_\beta \equiv i$  et  $u_\beta \equiv v \rightarrow$  connexion parallèle de  $N$  cellules  $RL$  série.

# Dérivation fractionnaire $y_\alpha(s) = s^\alpha u_\alpha(s)$

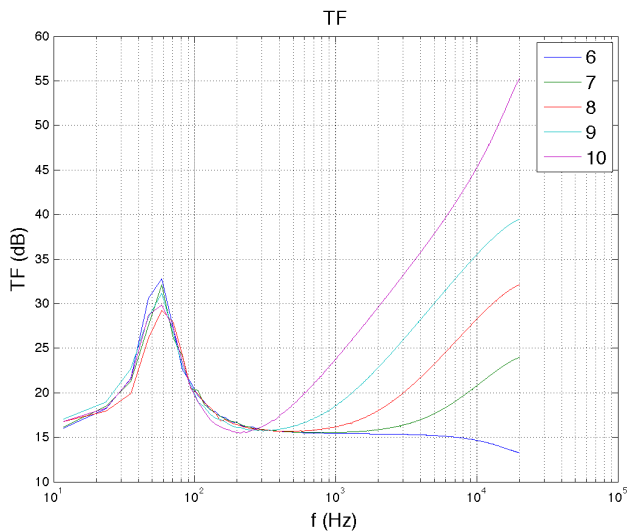
Réalisation à partir de l'intégrateur d'ordre  $(1 - \alpha)$ :  $s^\alpha \equiv s \cdot s^{-(1-\alpha)}$

Système Hamiltonien à ports:  $p_n = \frac{1}{\hat{\mu}_n}$  et  $r_n = \hat{\mu}_n, \forall n \in (1 \cdots N)$

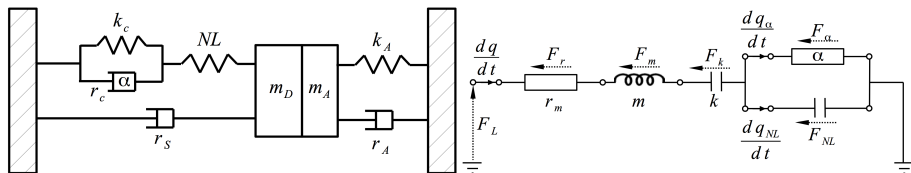
- $n_x = N$  composants stockants d'énergies  $H_n(x_n) = \xi_n \frac{x_n^2}{2}$ ,
- $n_w = N$  composants dissipatifs de lois constitutives  $z_n(w_n) = r_n w_n$
- $n_u = 1$  port  $(u_\alpha, y_\alpha)$

$$\begin{pmatrix} \frac{d\hat{\mathbf{x}}_\alpha}{dt} \\ \hat{\mathbf{w}}_\alpha \\ \hat{y}_\alpha \end{pmatrix} = \begin{pmatrix} \mathbb{0}_{N \times N} & -\mathbf{I}_{dN} & \mathbb{0}_{N \times 1} \\ \mathbf{I}_{dN} & \mathbb{0}_{N \times N} & -\mathbb{1}_{N \times 1} \\ \mathbb{0}_{1 \times N} & -\mathbb{1}_{1 \times N} & 0 \end{pmatrix} \begin{pmatrix} \frac{\partial \hat{H}_\alpha}{\partial \hat{\mathbf{x}}_\alpha} \\ \hat{\mathbf{z}}_\alpha(\hat{\mathbf{w}}_\alpha) \\ \hat{u}_\alpha \end{pmatrix}.$$

# Impédance fractionnaire



# Modèle proposé pour la partie mécanique



SHP pour la partie mécano-acoustique (D,S,A)

$$\mathbf{x} = (p, q, q_{NL}, q_c, \mathbf{x}_\alpha)^\top, \quad H(\mathbf{x}) = \frac{x_1^2}{2m} + \frac{x_2^2}{2k_a} + H_{NL}(x_3) + \frac{x_4^2}{2k_c} + H_\alpha(\mathbf{x}_\alpha)$$

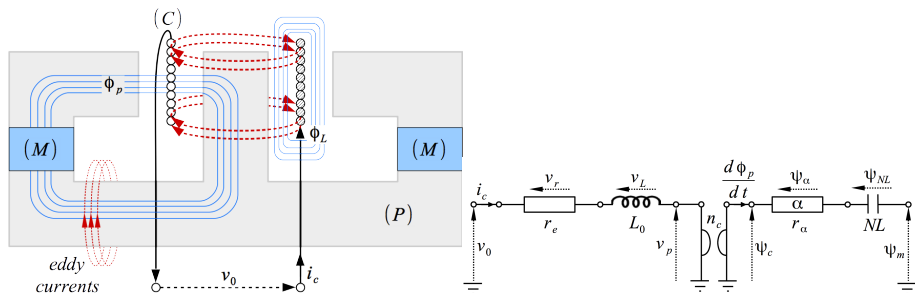
$$\mathbf{w} = (\partial_t q, \mathbf{w}_\alpha)^\top, \quad \mathbf{z}(\mathbf{w}) = (r_m w_1, \mathbf{R}_\alpha \mathbf{w}_\alpha)^\top$$

$$\mathbf{u} = (f_L)^\top, \quad \mathbf{y} = (\partial_t q)^\top$$

$$\mathbf{J}_x = \begin{pmatrix} 0 & -1 & -1 & 0 & 0 \\ 1 & 0 & 0 & 0 & 0 \\ 1 & 0 & 0 & 0 & 0 \\ 0 & 0 & 0 & 0 & 0 \\ 0 & 0 & 0 & 0 & 0 \end{pmatrix}, \quad \mathbf{K} = \begin{pmatrix} 1 & 0 \\ 0 & 0 \\ 0 & -1 \\ 0 & 1 \\ 0 & \mathbf{I}_d \end{pmatrix}, \quad \mathbf{G}_x = \begin{pmatrix} 1 \\ 0 \\ 0 \\ 0 \\ 0 \end{pmatrix}$$

$$\mathbf{J}_w = 0, \quad \mathbf{G}_w = 0, \quad \mathbf{J}_y = 0$$

# Modèle proposé pour la partie magnétique



SHP pour la partie électromagnétique (C,P,M)

$$\mathbf{x} = (\phi_L, \phi_p, \mathbf{x}_\alpha)^T, \quad H(\mathbf{x}) = \frac{x_1^2}{2L_0} + H_{NL}(x_2) + H_\alpha(\mathbf{x}_\alpha)$$

$$\mathbf{w} = (i_c, \mathbf{w}_\alpha)^T, \quad \mathbf{z}(\mathbf{w}) = (r_e w_1, \mathbf{R}_\alpha \mathbf{w}_\alpha)^T$$

$$\mathbf{u} = (v_0, \psi_m)^T, \quad \mathbf{y} = (i_c, -\partial_t \phi_p)^T$$

$$\mathbf{J}_\mathbf{x} = \mathbf{0}, \quad \mathbf{J}_\mathbf{w} = \mathbf{0}, \quad \mathbf{J}_\mathbf{y} = \mathbf{0}$$

$$\mathbf{K} = \begin{pmatrix} 1 & -n_c \mathbb{1}_{n_\alpha \times n_\alpha} \\ 0 & \mathbb{1}_{n_\alpha \times n_\alpha} \\ \mathbf{0}_{n_\alpha \times 1} & \mathbf{I}_{d_{n_\alpha}} \end{pmatrix}, \quad \mathbf{G}_\mathbf{x} = \begin{pmatrix} 1 & 0 \\ 0 & 0 \\ \mathbf{0}_{n_\alpha \times 1} & \mathbf{0}_{n_\alpha \times 1} \end{pmatrix},$$

$$\mathbf{G}_\mathbf{w} = \begin{pmatrix} 0 & 0 \\ \mathbf{0}_{n_\alpha \times 1} & \mathbb{1}_{n_\alpha \times 1} \end{pmatrix}$$



# Domaine thermique

Première loi de la thermodynamique  $dU = \delta Q$  (pas de travail  $\delta W=0$ )

Deuxième loi de la thermodynamique  $dS = \frac{\delta Q}{T}$

Stockage  $\equiv$  simple capacité thermique  $\delta Q = C dT$  ( $T > 0$ ,  $C = m c_p$ )

$$S_1 - S_0 = \int_{T_0}^{T_1} \frac{C}{T} dT \quad \xRightarrow{S_0=0} \quad T_1(S_1) = T_0 \exp\left(\frac{S_1}{C}\right)$$

énergie interne  $U(S) = CT_0 \exp\left(\frac{S}{C}\right) \Rightarrow \frac{dU}{dt} = \frac{\partial U}{\partial S} \frac{dS}{dt} = T \frac{dS}{dt}$

# Domaine thermique

## Pour une résistance $R$

- Puissance dissipée:  $P_D = \delta Q_D = R i^2 = z(w) w$
- Variation d'entropie du matériau:  $\frac{dS}{dt} = \frac{z(w) w}{T}$

## Système Hamiltonien à ports

$$\begin{cases} \begin{pmatrix} \partial_t S \\ -v \\ w \end{pmatrix} &= \frac{z(w)}{T} \begin{pmatrix} 0 & 1 \\ -1 & 0 \end{pmatrix} \begin{pmatrix} \frac{\partial U}{\partial S} \\ i \end{pmatrix} \\ &= i \end{cases}$$

# Transferts thermiques

Loi de Newton pour deux corps  $(S_i, T_i)$  ( $i, j = 1, 2$ )

$$\frac{\delta Q_i}{\delta t} = \frac{dU_i}{dt} = R_T \Delta T_{j \rightarrow i}$$

pour le gradient de température  $\Delta T_{j \rightarrow i} = T_j - T_i$  et la résistance thermique  $R_T$ .

$$\begin{pmatrix} \frac{dS_1}{dt} \\ \frac{dS_2}{dt} \end{pmatrix} = R \begin{pmatrix} \frac{1}{T_1} & 0 \\ 0 & \frac{1}{T_2} \end{pmatrix} \begin{pmatrix} -1 & 1 \\ 1 & -1 \end{pmatrix} \begin{pmatrix} \frac{\partial U_1}{\partial S_1} \\ \frac{\partial U_2}{\partial S_2} \end{pmatrix}.$$

Entropie totale:  $\frac{dS}{dt} = \frac{dS_1}{dt} + \frac{dS_2}{dt} = R \frac{(T_1 - T_2)^2}{T_1 T_2} \geq 0$

# Pour le haut-parleur

## 4 capacités thermiques

- ① bobine ( $S_c, T_c, C_c$ ),
- ② entrefer ( $S_g, T_g, C_g$ ),
- ③ circuit magnétique ( $S_m, T_m, C_m$ ),
- ④ air ambiant ( $S_a, T_a, C_a$ ).

## Transferts

- ① bobine  $\rightarrow$  entrefer ( $R_{cg}$ ),
- ② entrefer  $\rightarrow$  circuit magnétique ( $R_{gm}$ ),
- ③ circuit magnétique  $\rightarrow$  air ambient ( $R_{ma}$ ).

## Système Hamiltonien à ports irréversible

$$\begin{pmatrix} \partial_t S_c \\ \partial_t S_g \\ \partial_t S_m \\ \partial_t S_a \\ -v_r \end{pmatrix} = \left( \begin{array}{cccc|c} -\frac{R_{cg}}{T_c} & \frac{R_{cg}}{T_c} & 0 & 0 & \frac{z(w)}{T_r} \\ \frac{R_{cg}}{T_g} & -\frac{R_{cg}+R_{gm}}{T_g} & \frac{R_{gm}}{T_g} & 0 & 0 \\ 0 & \frac{R_{gm}}{T_m} & -\frac{R_{gm}+R_{ma}}{T_m} & \frac{R_{ma}}{T_m} & 0 \\ 0 & 0 & \frac{R_{ma}}{T_a} & -\frac{R_{ma}}{T_a} & 0 \\ \hline -\frac{z(w)}{T_r} & 0 & 0 & 0 & 0 \end{array} \right) \begin{pmatrix} \frac{\partial U_c}{\partial S_c} \\ \frac{\partial U_g}{\partial S_g} \\ \frac{\partial U_m}{\partial S_m} \\ \frac{\partial U_a}{\partial S_a} \\ i_r \end{pmatrix}$$

# Conclusions et perspectives

## Conclusions

- 1 Structure algébro-différentielle organisée en parties **conservative**, **dissipative** et **source**.
- 2 Encode la passivité (stabilité, contrôle).
- 3 La connexion de 2 SHP est encore un SHP  $\Rightarrow$  approche modulaire.
- 4 Méthode numérique préservant la structure passive  $\Rightarrow$  simulations passives.
- 5 Méthode de génération à partir d'un graphe  $\Rightarrow$  production automatisée de code C++.

## Perspectives

- 1 Automatiser la discrétisation et la réduction pour des systèmes de dimension infinie.
- 2 Géométries complexes.
- 3 Estimation de paramètres.

**Merci de votre attention.**